

A fény mint hullám. Az interferencia feltételei, koherencia.

Irodalom [3]: 275-276 §

Az elektromágneses fényelmélet szerint a (látható) fény egy olyan elektromágneses hullám, amelynek hullámhossza (vákuumban) 380 nm és 780 nm közötti tartományban van.

A fényben tehát az elektromágneses tér jellemezői rezegnek, melyek a következők:

- elektromos térerősség, \mathbf{E} [V/m]
- elektromos eltolás, \mathbf{D} [As/m²]
- mágneses indukció, \mathbf{B} [T (tesla) = Vs/m² = N/Am]
- mágneses térerősség, \mathbf{H} [A/m]

Lineáris és izotróp közegben $\mathbf{D} = \varepsilon_0 \varepsilon_r \mathbf{E}$ és $\mathbf{B} = \mu_0 \mu_r \mathbf{H}$,

- ε_0 a vákuum **permittivitása (dielektromos állandója)**,
 - μ_0 a vákuum **permeabilitása**,
 - ε_r a közeg **relatív permittivitása (relatív dielektromos állandója)**,
 - μ_r a közeg **relatív permeabilitása**.
- Az elektromágneses tér jellemzőinek tér- és időbeli függését a **Maxwell-egyenletek** írják le.
 - Ezekből megmutatható, hogy töltés- és árammentes közegben a tér jellemzői kielégítik a **hullámegyenletet**. Ebből következtethetünk az **elektromágneses hullámok** létezésére!
 - Vákuumbeli a terjedési sebesség pontosan a **vákuumbeli fénysebességgel** azonos. Ezért is következtethetünk arra, hogy a **fény is elektromágneses hullám!**

A Maxwell-féle elmélet szerint Az elektromágneses hullám terjedési sebessége a közegre jellemző állandóktól függ:

$$c = \frac{1}{\sqrt{\varepsilon_0 \varepsilon_r \mu_0 \mu_r}} = \frac{c_0}{\sqrt{\varepsilon_r \mu_r}}, \text{ ahol } c_0 = \frac{1}{\sqrt{\varepsilon_0 \mu_0}} \text{ a vákuumbeli terjedési sebesség.}$$

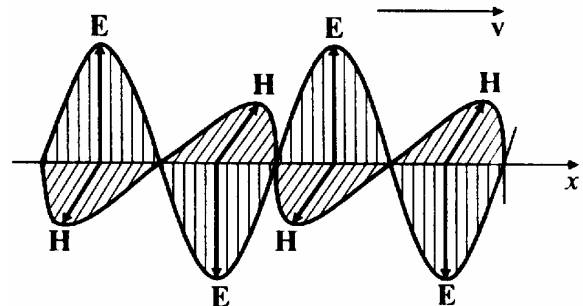
$$n = \frac{c_0}{c} = \frac{c_0 T}{c T} = \frac{\lambda_0}{\lambda}$$

, ahol λ_0 vákuumbeli hullámhossz

$$n = \frac{c_0}{c} = \sqrt{\varepsilon_r \mu_r} \quad (\text{Maxwell-féle reláció})$$

Elektromágneses síkhullám (a párhuzamos, homogén fénynyaláb közelítőleg ilyen)

$$\begin{aligned} \vec{E} &= E_0 \sin \left[\omega \left(t - \frac{x}{c} \right) + \alpha \right] \vec{e}_y \\ \vec{H} &= H_0 \sin \left[\omega \left(t - \frac{x}{c} \right) + \alpha \right] \vec{e}_z \end{aligned}$$



A **Maxwell-egyenletekből** következik, hogy a két térmennyiség egymásra és terjedési irányra is merőleges és azonos fázisban változik.

A hullám fázisát más alakba is felírhatjuk:

$$\omega \cdot \left(t - \frac{x}{c} \right) = 2\pi \left(\frac{t}{T} - \frac{x}{cT} \right) = 2\pi \left(\frac{t}{T} - \frac{x}{\lambda} \right) = 2\pi \left(\frac{t}{T} - \frac{nx}{\lambda_0} \right) = 2\pi (vt - nk_0 x)$$

A Maxwell-egyenletekből az is következik, hogy az amplitúdók nem függetlenek egymástól:

$$E_0 \sqrt{\epsilon_0 \epsilon_r} = H_0 \sqrt{\mu_0 \mu_r} \Rightarrow \frac{E_0}{H_0} = Z = \frac{\sqrt{\mu_0 \mu_r}}{\sqrt{\epsilon_0 \epsilon_r}} \quad \begin{array}{l} Z \text{ a közeg hullámellenállása,} \\ \text{vákuumra } \epsilon_r = \mu_r = 1, \text{ így} \\ \text{vákuumra } Z_0 = \sqrt{\mu_0 / \epsilon_0} \approx 377 \Omega \end{array}$$

A síkhullám energiasűrűsége: $w = \frac{1}{2} \epsilon_0 \epsilon_r E^2 + \frac{1}{2} \mu_0 \mu_r H^2$

$$w = \frac{1}{2} (\epsilon_0 \epsilon_r E_0^2 + \mu_0 \mu_r H_0^2) \sin^2[\omega \cdot (t - x/c) + \alpha] = \epsilon_0 \epsilon_r E_0^2 \sin^2[\omega \cdot (t - x/c) + \alpha]$$

A fény intenzitás kiszámításánál w időbeli átlagértéke számít:

$$\bar{w} = \frac{1}{2} \epsilon_0 \epsilon_r E_0^2$$

Az energiaáramlás-sűrűsége (Poynting-vektor)

$$\vec{S} = \vec{E} \times \vec{H} = \frac{E_0^2}{Z} \sin^2[\omega \cdot (t - x/c) + \alpha] \vec{e}_x = S \vec{e}_x, \text{ ahol } S = \frac{E_0^2}{Z} \sin^2[\omega \cdot (t - x/c) + \alpha]$$

A fény intenzitása

$$J = \bar{S} = \frac{E_0^2}{Z} \overline{\sin^2[\omega \cdot (t - x/c) + \alpha]} = \frac{E_0^2}{2Z} = \frac{E_0^2}{2} \sqrt{\frac{\epsilon_0 \epsilon_r}{\mu_0 \mu_r}} = \frac{E_0^2}{2} \frac{\epsilon_0 \epsilon_r}{\sqrt{\epsilon_0 \epsilon_r \mu_0 \mu_r}} = \frac{\epsilon_0 \epsilon_r E_0^2}{2} c$$

$$J = \frac{E_0^2}{2Z} = \frac{Z H_0^2}{2}$$

és

$$J = \bar{w} c$$

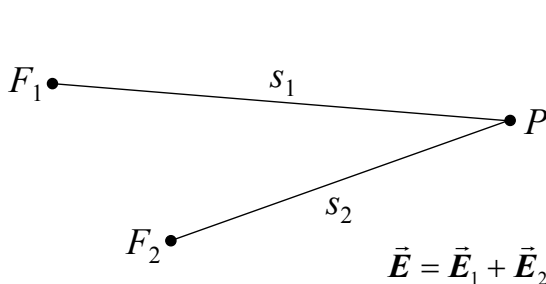
A fény interferenciája

Az interferencia hullámok találkozásánál fellépő jelenség.

A szuperpozíció elvével értelmezhető.

- Ha a hullámok **azonos** fázisban találkoznak, akkor a hullám amplitúdója **maximális**,
- ha a hullámok **ellentétes** fázisban találkoznak, akkor a hullám amplitúdója **minimális**.

Hogyan függ a fényintenzitás a két találkozó fényhullám intenzitásától?



$$\vec{E}_1 = A_1 \sin \left[2\pi \left(\frac{t}{T} - \frac{n s_1}{\lambda} \right) + \alpha_1 \right] \vec{e}_y$$

$$\vec{E}_2 = A_2 \sin \left[2\pi \left(\frac{t}{T} - \frac{n s_2}{\lambda} \right) + \alpha_2 \right] \vec{e}_y$$

$$\vec{E} = \vec{E}_1 + \vec{E}_2 = A \sin(2\pi t/T + \alpha) \vec{e}_y$$

$$A^2 = A_1^2 + A_2^2 + 2A_1 A_2 \cos \delta, \text{ ahol}$$

$$\delta = \varphi_2 - \varphi_1 = 2\pi \frac{n s_1 - n s_2}{\lambda} + \alpha_2 - \alpha_1$$

$$J = \frac{A^2}{2Z} = \frac{A_1^2}{2Z} + \frac{A_2^2}{2Z} + 2 \frac{A_1}{\sqrt{2Z}} \frac{A_2}{\sqrt{2Z}} \cos \delta = J_1 + J_2 + 2\sqrt{J_1 J_2} \cos \delta$$

$$J = J_1 + J_2 + 2\sqrt{J_1 J_2} \cos \delta$$

$$J_{\max} = (\sqrt{J_1} + \sqrt{J_2})^2, \text{ ha } \delta = 2m\pi$$

$$m = 0, \pm 1, \pm 2, \dots$$

$$J_{\min} = (\sqrt{J_1} - \sqrt{J_2})^2, \text{ ha } \delta = (2m+1)\pi$$

Ha a két fényforrás azonos fázisban rezeg ($\alpha_1 = \alpha_2$)

a maximális erősítés feltétele: $\delta = 2m\pi$ \longleftrightarrow

$$\Delta = n s_1 - n s_2 = 2m \lambda / 2 = m \lambda$$

a maximális gyengítés feltétele: $\delta = (2m + 1)\pi$ \longleftrightarrow

$$\Delta = n s_1 - n s_2 = (2m + 1) \lambda / 2$$

$$m = 0, \pm 1, \pm 2, \dots$$

Koherencia

- Minden napos tapasztalat az optikában, hogy két fényforrással egy helyre világítva nem lesz sötétebb! (Az interferencia esetén ilyen előfordulhat!)
- Többnyire a két fényforrás fényének intenzitása egyszerűen összeadódik, vagyis az eredő intenzitásra $J = J_1 + J_2$ áll fenn!
- **Miért nem tapasztaljuk általában az előzőekben tárgyalt interferenciát?**
- Ennek oka a fénykibocsátás sajátosságaival kapcsolatos!
- Ha két fényhullám találkozásánál interferencia lép fel, akkor azt mondjuk, hogy a két hullám **koherens**.
- Ha két fényhullám találkozásánál interferencia nem lép fel, akkor azt mondjuk, hogy a két hullám **nem koherens**, vagy **inkoherens**.
- Tehát két fényhullám találkozásánál az eredő intenzitásra

koherens esetben:

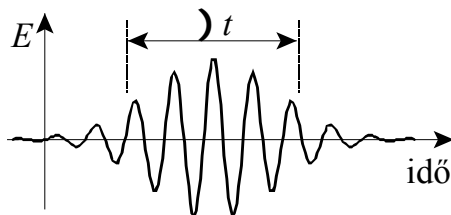
$$J = J_1 + J_2 + 2 \underbrace{\sqrt{J_1 J_2}}_{\text{koherenciatag}} \cos \delta$$

inkoherens esetben:

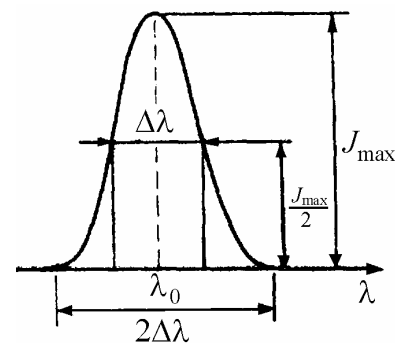
$$J = J_1 + J_2$$

A fénykibocsátás sajátosságai

- A fényforrások kiterjedtek.
- A **fényt** a fényforrásban lévő gerjesztett **atomok** (vagy **molekulák**) **sugározzák** ki.
- Szokásos fényforrásainknál a gerjesztett atomok (molekulák) **fénykibocsátása** egymástól **függetlenül** és **rendszertelenül**, **spontán** módon, az esetlegesen jelenlévő külső elektromágneses tértől függetlenül történik (**spontán emisszió**).
- A fénykibocsátás igen **rövid** idejű (ns nagyságrendű). Ennek következtében a kibocsátott fényhullám **nem monokromatikus**, hanem egy **véges** tér- és időbeli hosszúságú **hullámvonulat** (hullámcsomag). A hullámvonulat hosszát **koherenciahossznak** nevezzük.

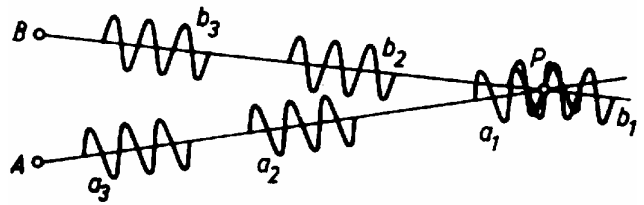


$$l = c \Delta t \approx \frac{\lambda_0^2}{\Delta \lambda}$$



- Ahhoz, hogy a – **hullámvonulat időtartamához** képest viszonylag **hosszú** – **megfigyelési idő** alatt látható interferencia jöjjön létre **állandó** fáziskülönbség szükséges!
- Ez – az egymástól független és rendezetlen elemi fénykibocsátások miatt – nyilvánvalóan nem teljesül.

- Így, bár az A és B pontokból származó (a_1, b_1) vonulatok – a fáziskülönbségtől függően – pl. erősíthetik vagy gyengíthetik egymást, de ez csak rövid ideig tart.



- Az egymást rendszertelenül követő további, (a_2, b_2) , (a_3, b_3) , ... vonulatok teljesen más fényhatást hoznak létre.

- A detektor a hullámvonulatok hosszának megfelelő időt nem képes felbontani, valójában az elemi folyamatokhoz tartozó intenzitások megfigyelési időre vonatkozó átlagát méri.

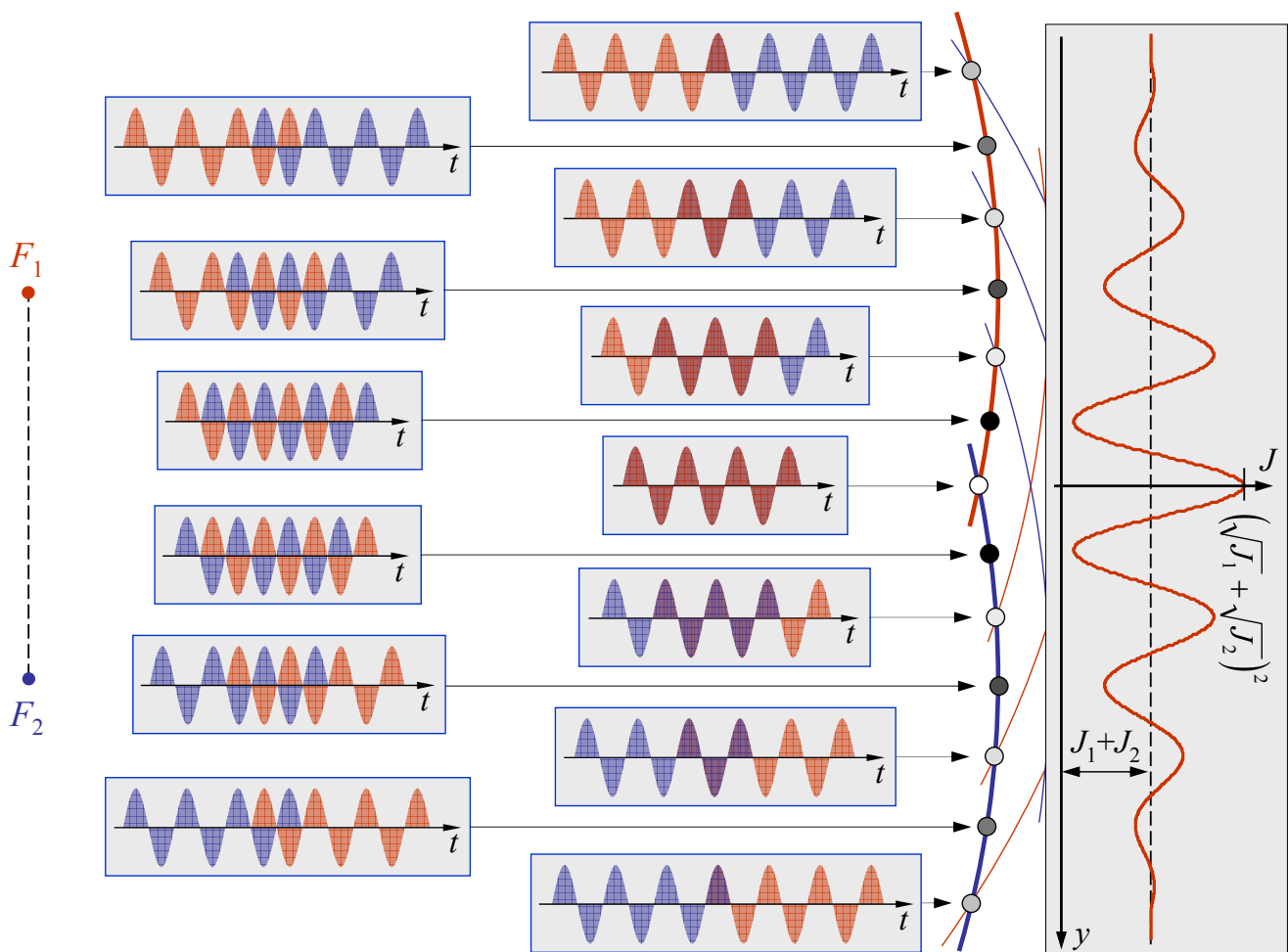
- A rendszertelen fáziskülönbség miatt, a megfigyelési időre vonatkozólag az **interferenciátág időbeli átlaga zérus**. Így a megfigyelt intenzitás a két intenzitás **összege**.

- Ennek következtében a fényinterferencia egyik feltétele:

Csak olyan fényhullámok között figyelhetünk meg interferenciát, amelyek a fényforrás ugyanazon pontjából, és ugyanazon elemi fénykibocsátási folyamatból származnak.

- Az interferenciához nyilván az is szükséges, hogy az elemi hullámvonulatok találkozzanak. Ez nyilván a közöttük lévő útkülönbségre ró ki egy feltételt:

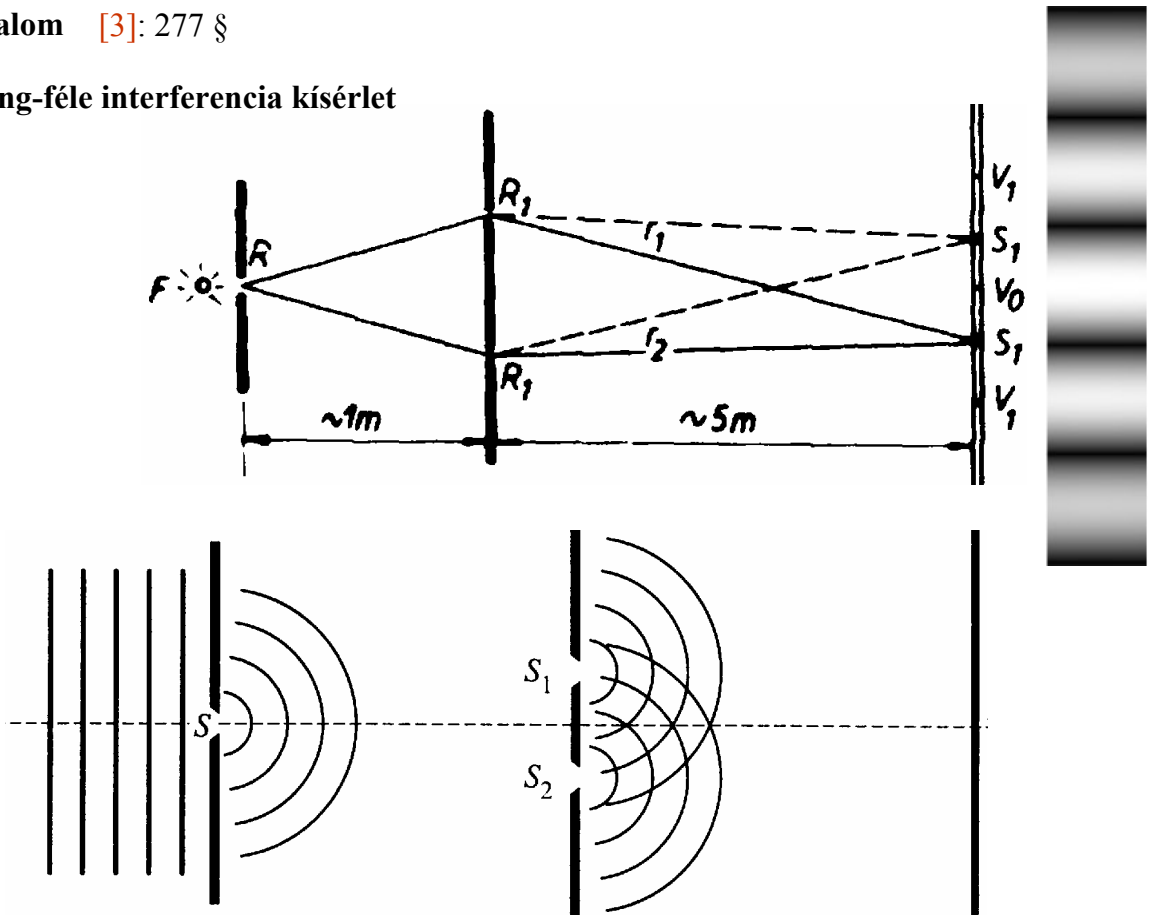
Az interferenciához szükséges, hogy a útkülönbség a koherenciahossznál kisebb legyen.



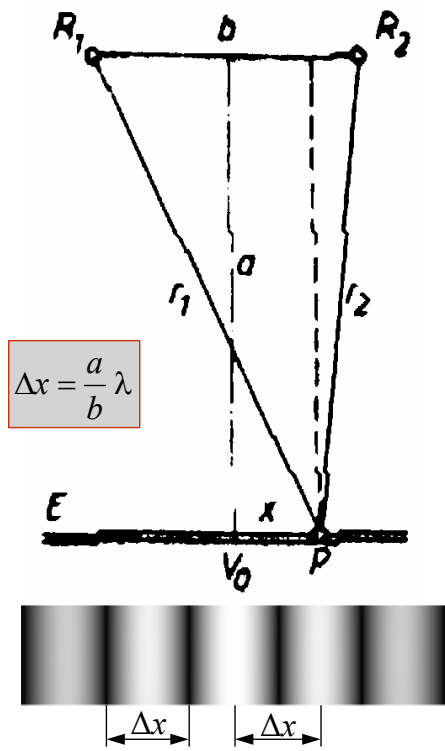
A hullámfront osztáson alapuló (Young-Fresnel-féle) interferenciajelenségek

Irodalom [3]: 277 §

Young-féle interferencia kísérlet



Mekkora az interferenciacsíkok távolsága?



A világos csíkok helyét meghatározó feltétel:

$$r_1 - r_2 = m \lambda$$

$$(r_1 - r_2)(r_1 + r_2) = r_1^2 - r_2^2$$

$$|x| \ll a \text{ és } b \ll a \rightarrow r_1 + r_2 \approx 2a$$

$$r_1^2 = a^2 + (b/2 + x)^2 = a^2 + (b/2)^2 + bx + x^2$$

$$r_2^2 = a^2 + (b/2 - x)^2 = a^2 + (b/2)^2 - bx + x^2$$

$$r_1^2 - r_2^2 = 2bx$$

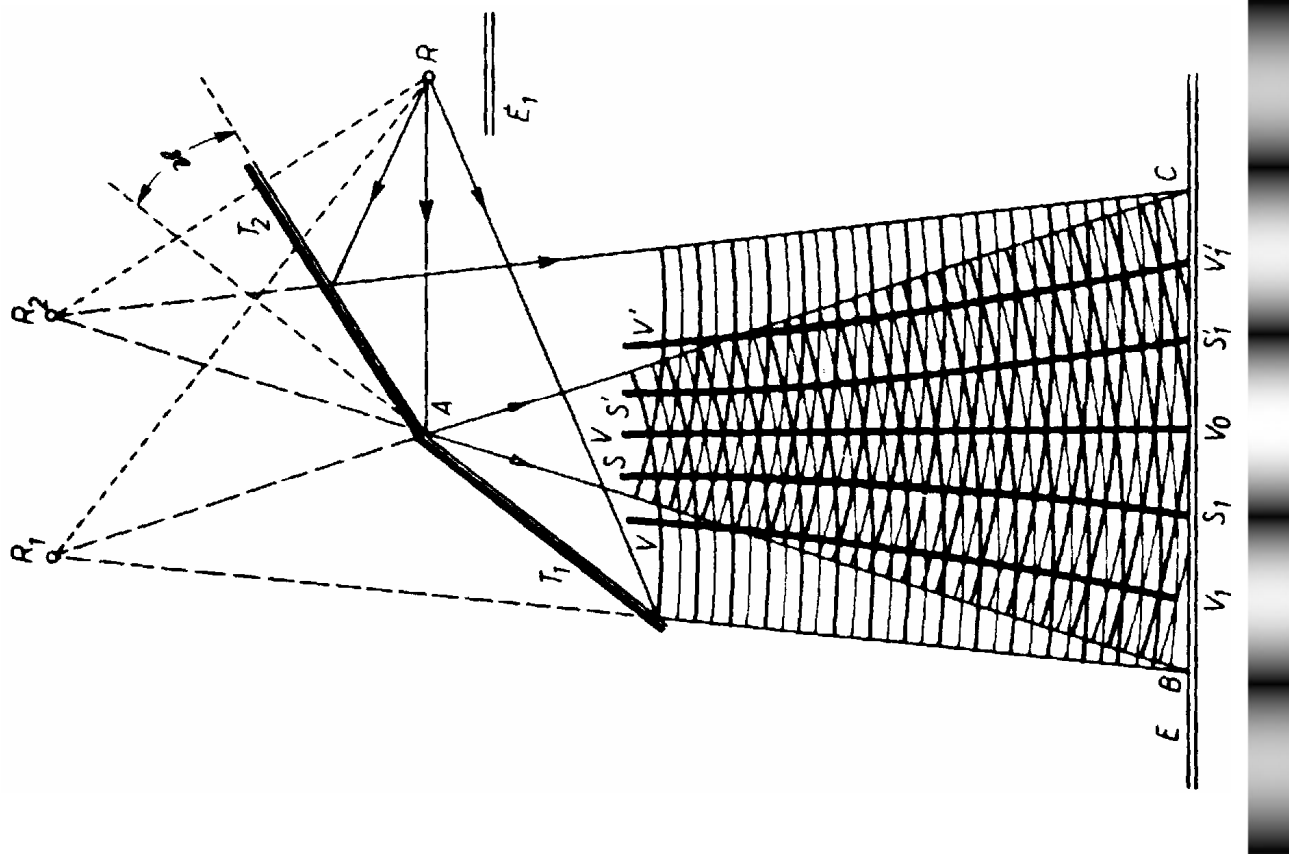
$$(r_1 - r_2) \cdot 2a = 2b \cdot x \rightarrow r_1 - r_2 = (b/a) \cdot x$$

Az m -ed rendű világos csík helye: $x_m = m \cdot \frac{a}{b} \lambda$

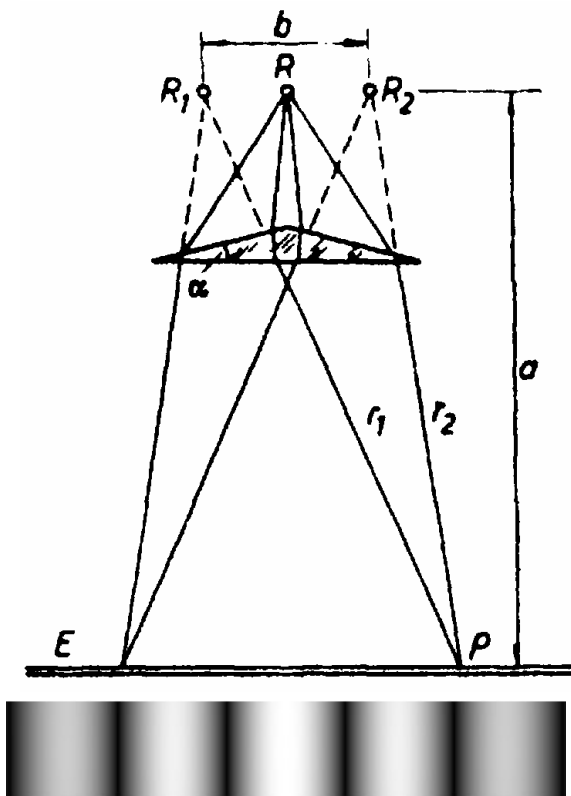
- $\lambda = 0,5 \mu\text{m}$ esetén $\Delta x \geq 1 \text{ mm}$ teljesüléséhez $a/b \geq 2000$ szükséges.
- Ez a tény jelentős mértékben közrejátszott abban, hogy a kísérletet csak az 1800-as évek elején sikerült elvégezni.

A Young kísérlet fizika történeti jelentősége: szemléletesen bizonyítja a fény hullámtermészetét.

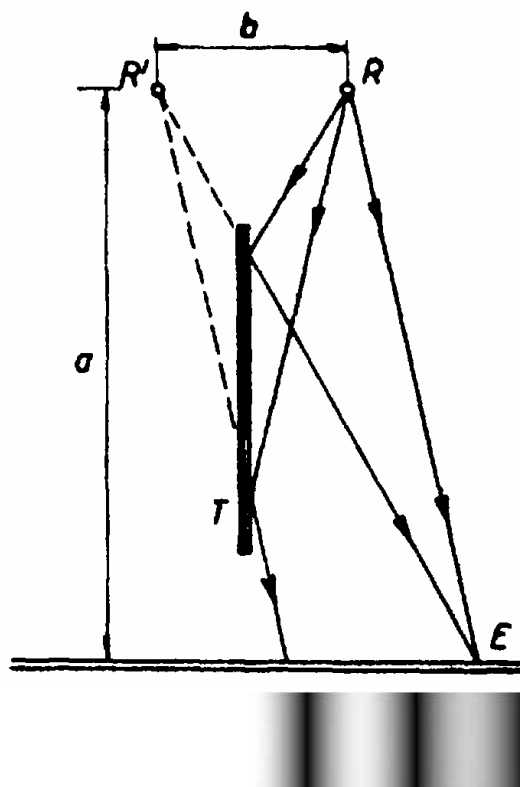
Fresnel-féle kettőstükör



Fresnel-féle biprizma



Lloyd-féle tükör

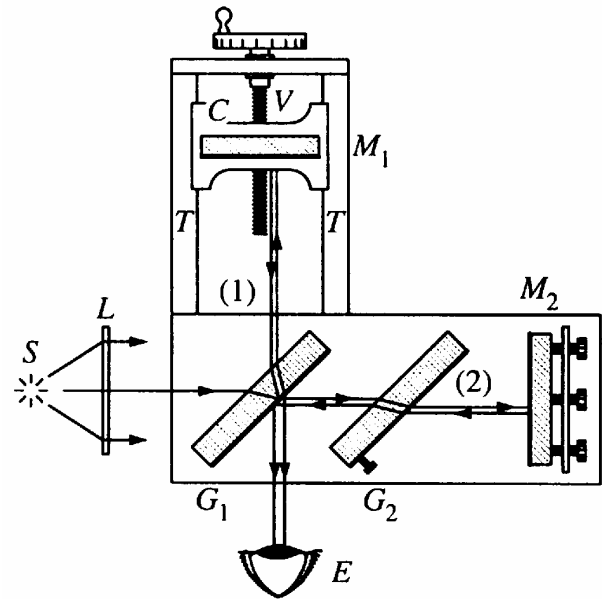
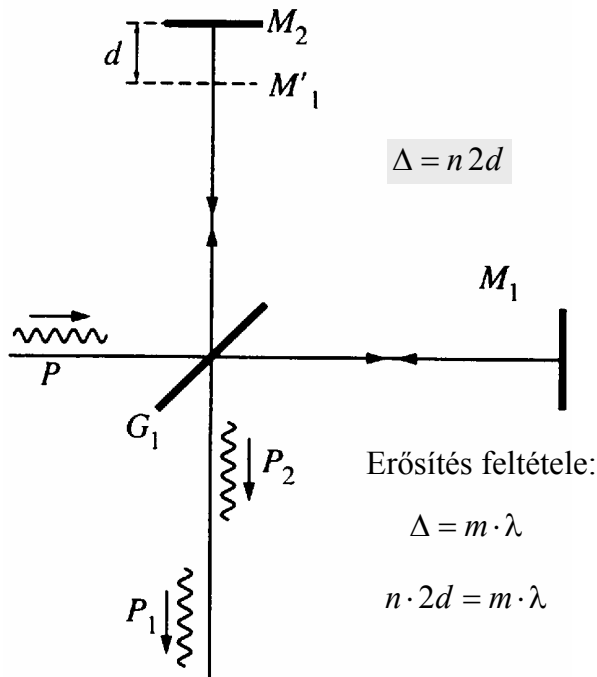


Interferencián alapuló optikai eszközök.

A Michelson-, a Sagnac-, és Fabry-Perot-interferométer működése és alkalmazása.

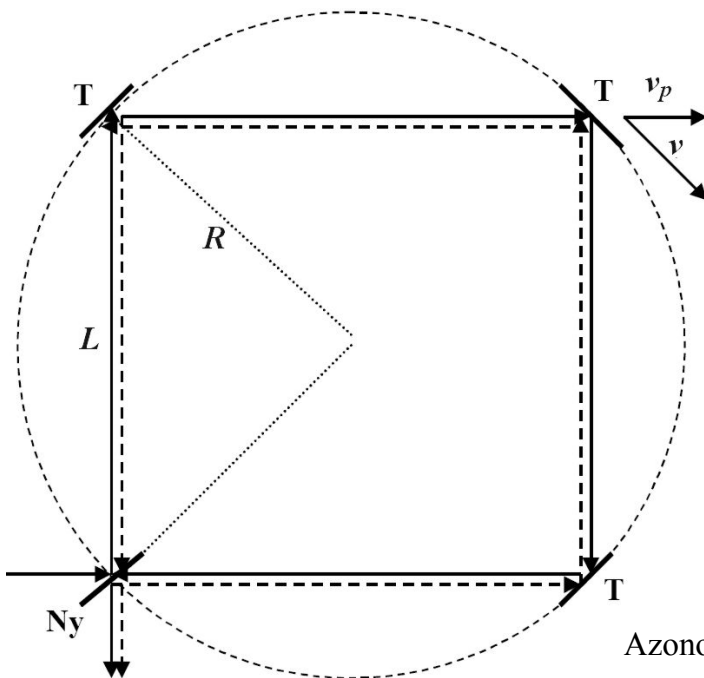
Irodalom [3]: 280 §

Michelson-interferométer



A Michelson interferométer igen pontos távolságmérést tesz lehetővé, akár még $\lambda/50$ távolságváltozás – ez zöld fény esetén $0,01 \mu\text{m}$ (!) – is mérhető vele.

Sagnac-interferométer



Nyugvó (vagy egyenletesen mozgó) interferométer

- a két nyaláb azonos fázisban találkozik, mert **ugyanolyan** $4L$ hosszúságú utat járnak be, csak ellenkező irányban.

Forgó interferométer

- a két nyaláb között fáziskülönbség lép fel, mert a két különböző körbejárási irányba **különböző** hosszúságú utakat járnak be.
- A forgási iránnyal azonos körbejárás:

Két tükör között t_a ideig terjed a fény.

$$ct_a = L + v_p t_a \quad \rightarrow \quad t_a = \frac{L}{c - v_p} = \frac{R\sqrt{2}}{c - v_p}$$

$$v_p = \frac{v}{\sqrt{2}} = \frac{R\omega}{\sqrt{2}} \quad \rightarrow \quad t_a = \frac{2R}{c\sqrt{2} - R\omega}$$

Azonos irányú körbejáráshoz tartozó idő: $T_a = 4t_a$

$$T_a = \frac{8R}{c\sqrt{2} - R\omega}$$

Teljesen hasonlóan adódik a forgási iránnyal ellentétes irányú körbejáráshoz tartozó idő:

$$T_e = \frac{8R}{c\sqrt{2} + R\omega}$$

A forgási iránnyal azonos és ellentétes irányú körbejáráshoz tartozó idők különbsége:

$$\Delta T = T_a - T_a = 8R \cdot \left(\frac{1}{c\sqrt{2} - R\omega} - \frac{1}{c\sqrt{2} + R\omega} \right) = 8R \cdot \frac{c\sqrt{2} + R\omega - (c\sqrt{2} - R\omega)}{2c^2 - (R\omega)^2} = \frac{16R^2\omega}{2c^2 - (R\omega)^2}$$

$$(R\omega)^2 \ll 2c^2 \quad \rightarrow \quad \Delta T \approx \frac{8R^2\omega}{c^2}$$

$$\Delta T = \frac{4A\omega}{c^2}, \quad \text{ahol } A = L^2 = 2R^2 \text{ a fénysugarak által határolt négyzet területe.}$$

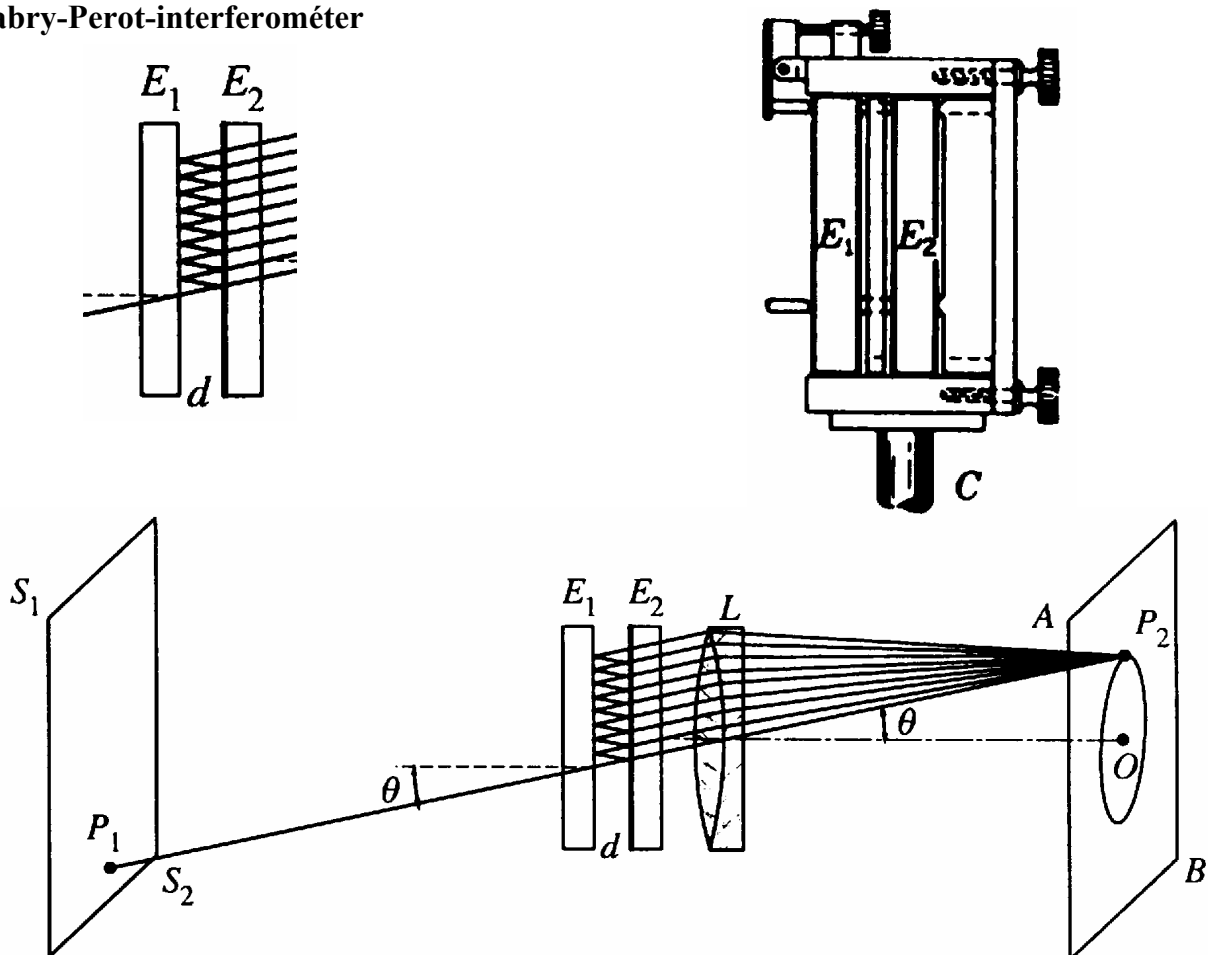
A két irányban körbehaladó nyalábok közötti útkülönbség nyilván $\Delta s = c \cdot \Delta T$.

$$\Delta s = \frac{4A\omega}{c}$$

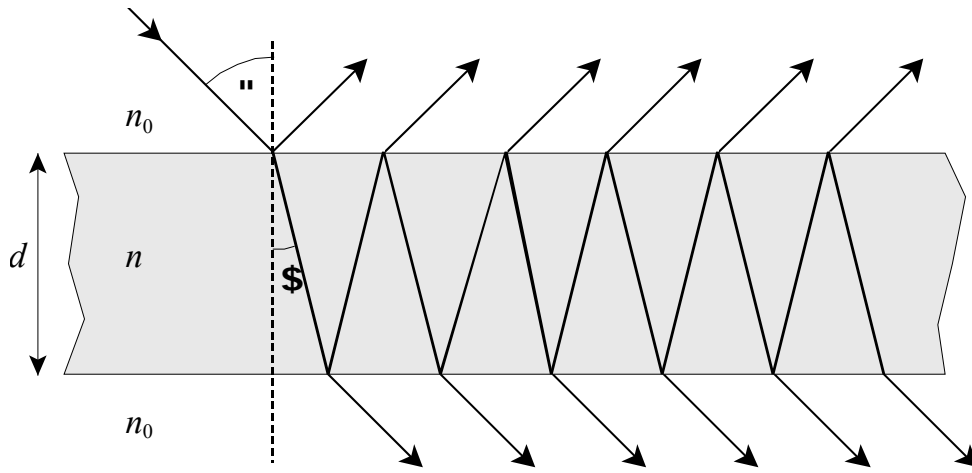
Az útkülönbség miatt a forgó interferométerből kilépő fénynyalábok interferencia lép fel!

- Ezt a jelenséget *Sagnac-effektusnak* nevezik.
- **A jelenséggel a forgás kimutatható, illetve a forgás szögsebessége mérhető!**
- Egyik fontos alkalmazása:
modern navigációs eszközökben használt lézeres giroszkópok.

Fabry-Perot-interferométer

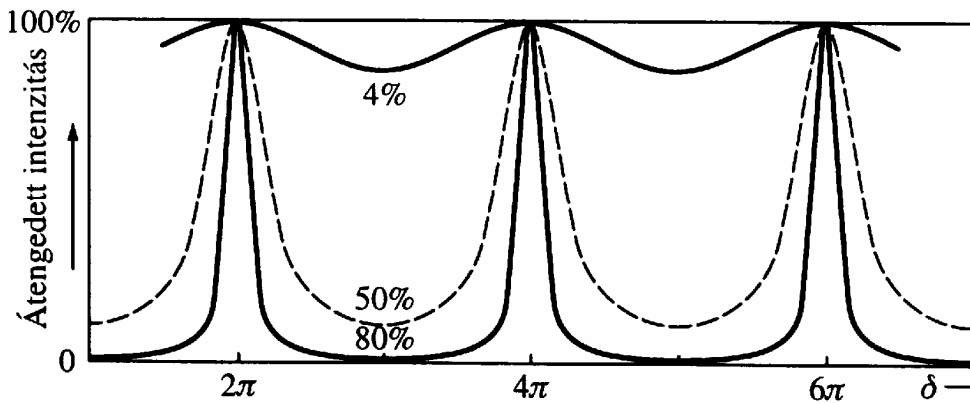


Az átengedett (transzmittált) intenzitás szemléltetése soksugaras interferenciánál.



két egymást követő hullám közötti fáziskülönbség:

$$\delta = \frac{4\pi}{\lambda} nd \cos \beta$$

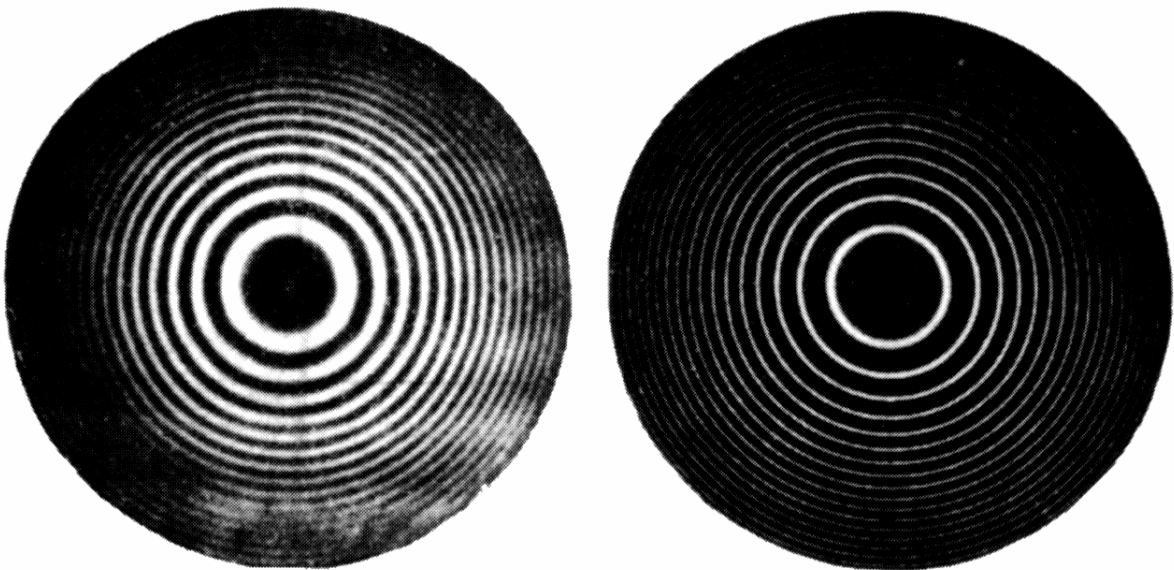


$$I_t = \frac{I_i}{1 + F \sin^2 \frac{\delta}{2}}$$

$$F = \frac{4R}{(1-R)^2}$$

R a reflexió tényező

A soksugaras interferencia sokkal keskenyebb intenzitáseloszlást eredményez mint a kétsugaras interferencia.



(a)

(b)

7.14.ábra.

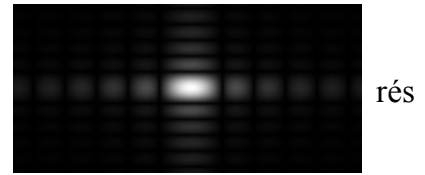
Csík típusok összehasonlítása: (a) Michelson-interferométerrel, (b) Fabry-Perot-féle interferométerrel létrehozott csíkok 0,8 reflektivitású felületeknél

A Fabry-Perot interferométerrel igen nagy felbontás érhető el spektrumok vizsgálatánál!

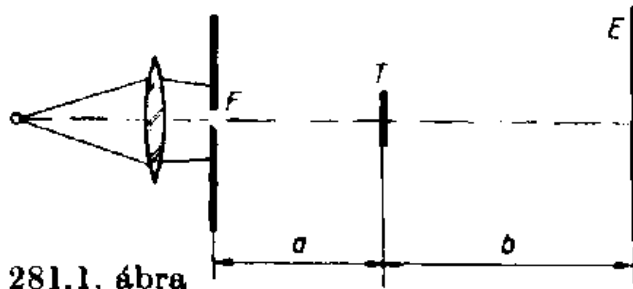
A fényelhajlás alapjelenségei. Fraunhofer-féle elhajlás. Fraunhofer-féle elhajlás résen, kör alakú nyíláson és optikai rácson

Irodalom [3]: 281-283 §

- A fénysugarakkal leírható **egyenes vonalú** terjedéstől bizonyos esetekben **eltérés** mutatkozik: a fény az **árnyék zónába** is **behatol**, ahová pedig az egyenes vonalú terjedés szerint **nem** juthatna el. Az **árnyékhatár** közelében **világos** és **sötét** helyek váltakozása figyelhető meg.
- A fény hullámtermészetének egyik fontos bizonyítéka



Kísérleti bemutatása



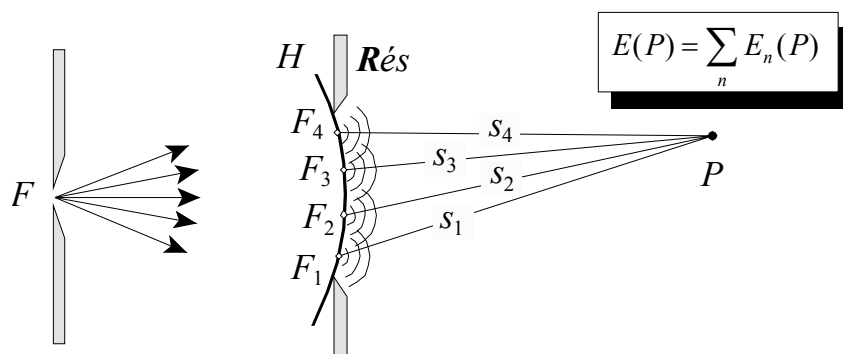
281,1. ábra



• Értelmezése: Huygens-Fresnel-féle elv

A fényhullámok terjedése során egy hullámfelület minden pontja elemi hullámforrás. Egy későbbi időpontban egy adott helyen megfigyelhető hatást ezen elemi hullámok interferenciája határozza meg.

A Huygens-Fresnel-féle elv szemléltetése



Az elemi hullámok kiszámítása

q_n

F_n

P irány

eredeti irány

$$E_n(P) = \frac{E(H)}{s_n} \sin \left[2\pi \left(\frac{t}{T} - \frac{n s_n}{\lambda} \right) + \frac{\pi}{2} \right] f(\alpha) \Delta q_n$$

- Ezzel a gondolatmenettel eljuthatunk az u.n. **diffrakciós integrál** fogalmához.
- A diffrakció elméleti vizsgálata ezen integrál kiszámítását jelenti.

Az elhajlított hullám közelítő kiszámítása:

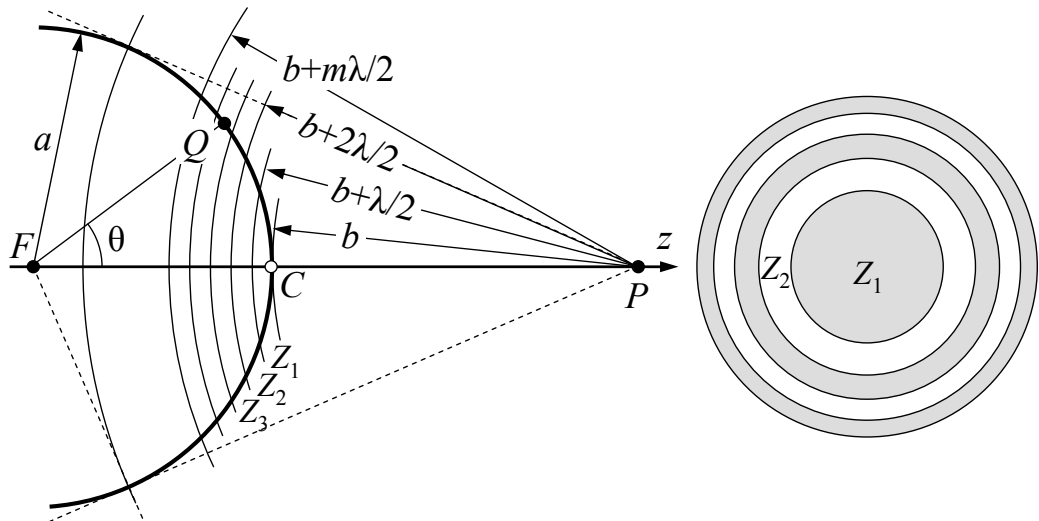
Fresnel-féle zónák

- A hullámfrontot felületdarabokra (zónákra) bontjuk fel úgy, hogy a egyes darabok hatását ki tudjuk számítani.
- **A zónaszerkesztés szabálya**

A hullámfrontot úgy osztjuk fel zónákra, hogy két szomszédos zónának a megfigyelési ponttól mért távolsága a hullámhossz felével különbözzön.

Ekkor két szomszédos zóna ellentétes fázisú rezgést kelt a megfigyelési pontban.

Fresnel-féle zónák szerkesztése gömbhullám esetén



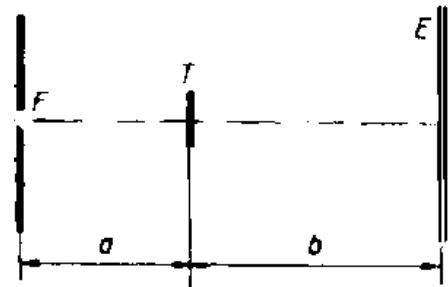
Az elhajlási jelenségek osztályozása

• Fresnel-féle

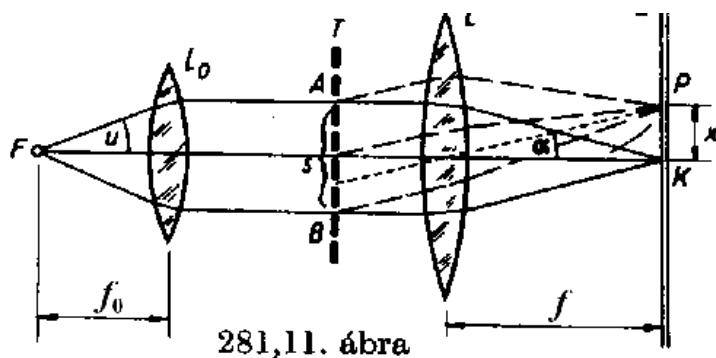
A fényforrásnak és a megfigyelési helynek az elhajlító tárgytól mért távolsága (a és b) véges

• Fraunhofer-féle

A fényforrásnak és a megfigyelési helynek az elhajlító tárgytól mért távolsága (a és b) végtelen (nagyon nagy)



A Fraunhofer-féle elhajlás kísérleti megvalósítása



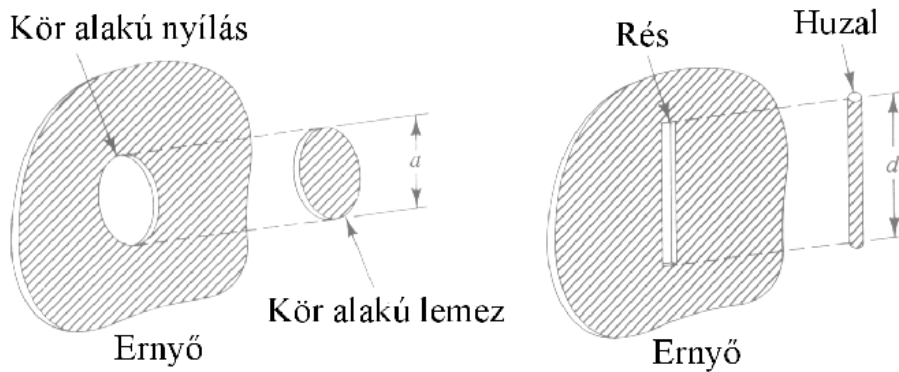
281,11. ábra

Néhány fontosabb akadály

- rés
- él
- kör alakú nyílás
- gyűrű alakú nyílás
- átlátszatlan korong
- kettős rés
- optikai rács
- zónalemez

Babinet-féle elv

Egy elhajlító tárgy és annak komplementere által létrehozott elhajlási jelenségek közötti kapcsolatot fogalmazza meg.

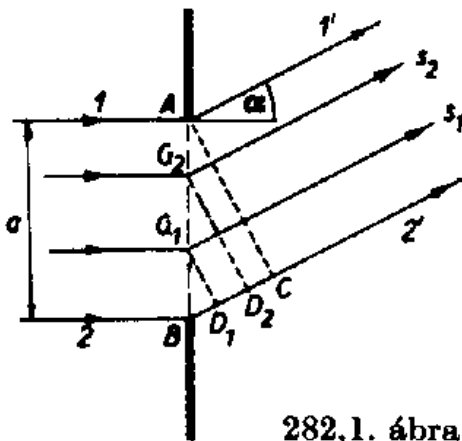


Az elhajlító tárgy és a komplementere által diffraktált fénycsövek együttesen (azaz fénycsöveket összeadva) a zavartalan terjedéshez tartozó fénycsövet adják.

$$E_{\text{zavartalan}} = E_{\text{elhajlított}}^{(\text{nyílások})} + E_{\text{elhajlított}}^{(\text{komplementer nyílások})}$$

Fraunhofer-féle elhajlás résen

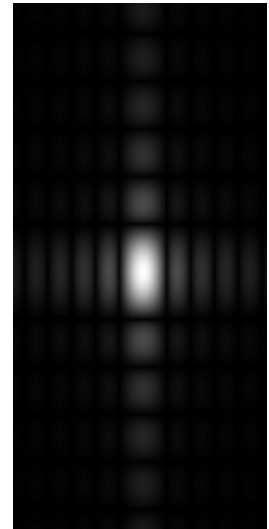
A gyengítési és erősítési irányok kiszámítása a Fresnel-zónákkal



$$\overline{BC} = \Delta s_{\text{max}}(\alpha) = a \sin \alpha$$

Fresnel – zónák száma
az α irányból nézve:

$$N = \frac{\Delta s_{\text{max}}(\alpha)}{\lambda/2} = \frac{2a \sin \alpha}{\lambda}$$



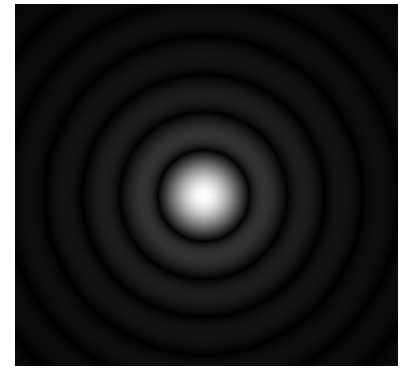
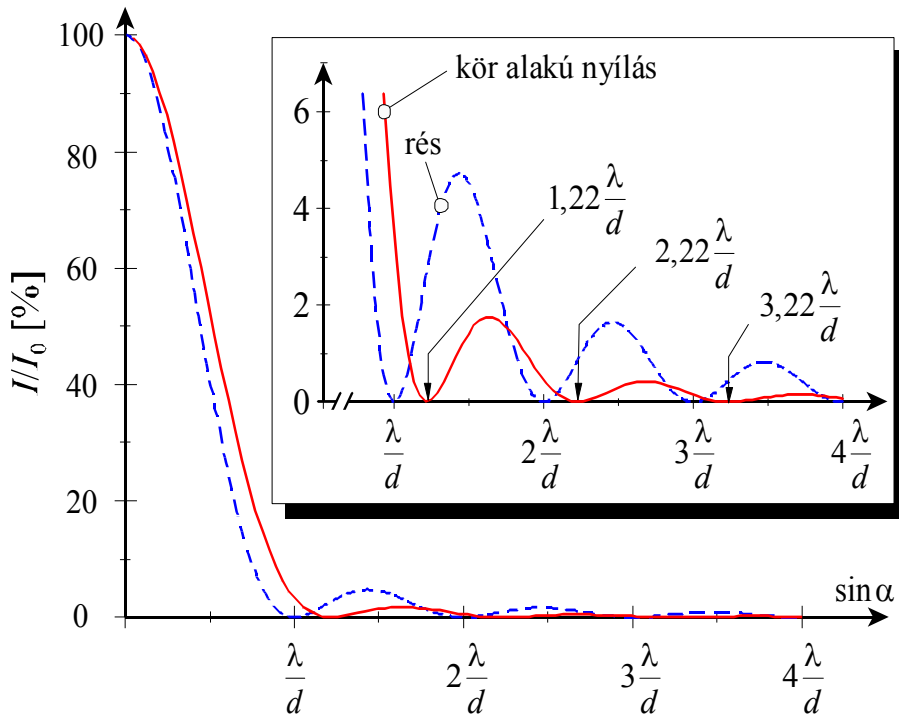
A fényhatás $\left\{ \begin{array}{l} \text{gyengítés, ha az } \alpha \text{ irányból nézve a zónák száma páros} \\ \text{erősítés, ha az } \alpha \text{ irányból nézve a zónák száma páratlan} \end{array} \right.$

$$\frac{2a \sin \alpha}{\lambda} = \begin{cases} N=2m, & \text{gyengítés} \Leftrightarrow a \sin \alpha = m\lambda \\ N=2m+1, & \text{erősítés} \Leftrightarrow a \sin \alpha = (m+1/2)\lambda \end{cases}$$

$$(m = \pm 1, \pm 2, \pm 3, \dots)$$

Fraunhofer-féle elhajlás kör alakú nyíláson

Intenzitás az elhajlási szög szinuszának függvényében
 d átmérőjű környílás és d szélességű rés esetén.



kör alakú nyílás esetén

Az 1. kioltási irányra:

$$d \sin \alpha_1 = 1,22 \lambda$$

rés esetén

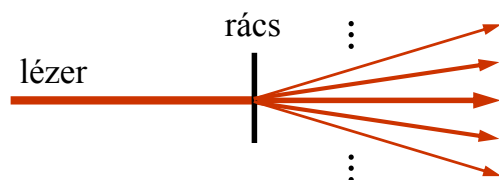
Az 1. kioltási irányra:

$$d \sin \alpha_1 = \lambda$$

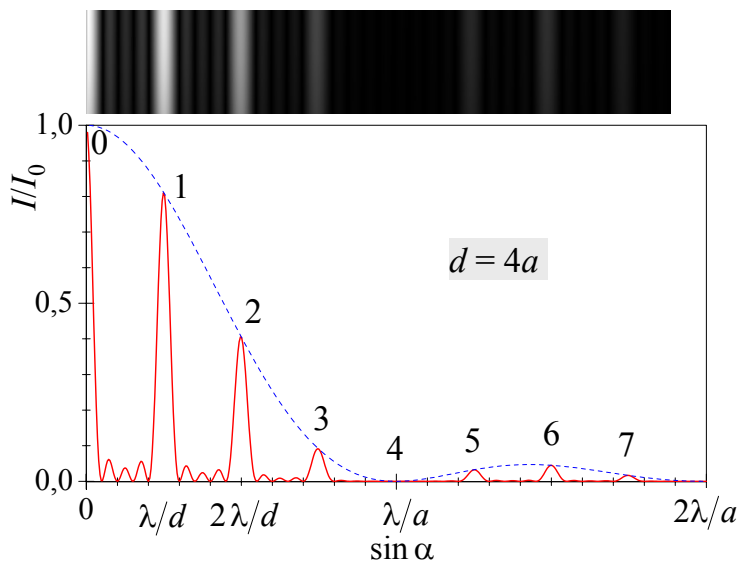
Környílás esetén a mellékmaximumok kisebb intenzitásúak, mint a rés esetén!

Fraunhofer-féle elhajlás optikai rácson

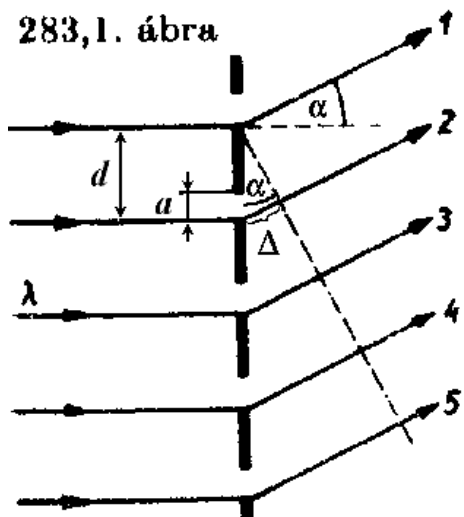
kísérlet



Intenzitás az elhajlási szög szinuszának függvényében



Az erősítés feltételének kiszámítása



$$\Delta = d \sin \alpha$$

Az erősítés feltétele

$$\Delta = m \lambda$$

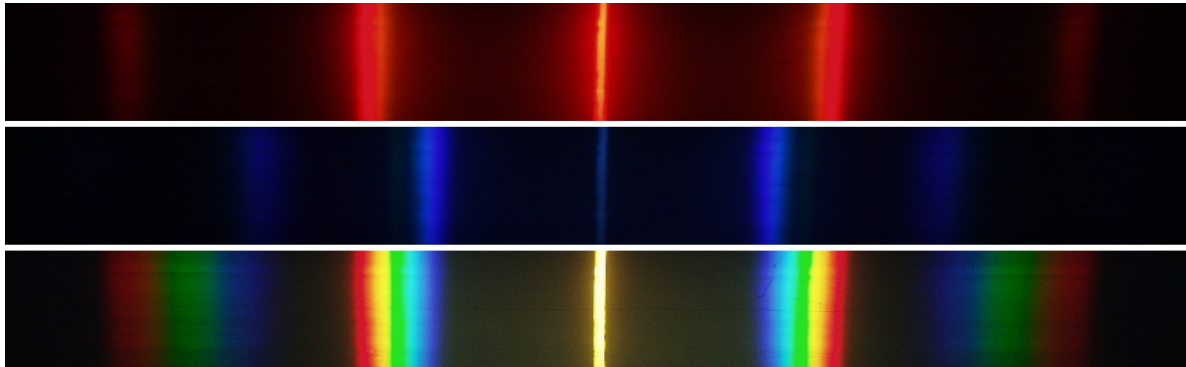
$$(m = 0, \pm 1, \pm 2, \dots)$$

$$d \sin \alpha_m = m \lambda$$

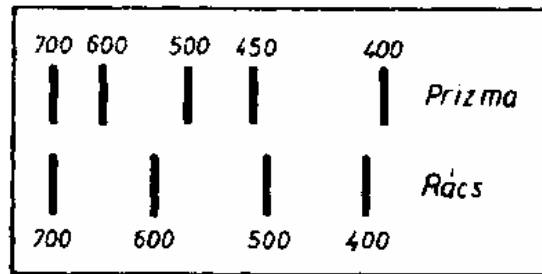
$$d \sin \alpha_m = m \lambda$$

Az eltérítés szöge függ a hullámhossztól!

- Ezért az optikai rács spektroszkópiai eszközökben bontó elemként használható.
- A spektrum (kis szögváltozásokra) lineárisan függ a hullámhossztól, és
- a színek hossza az interferencia rendjével arányos.



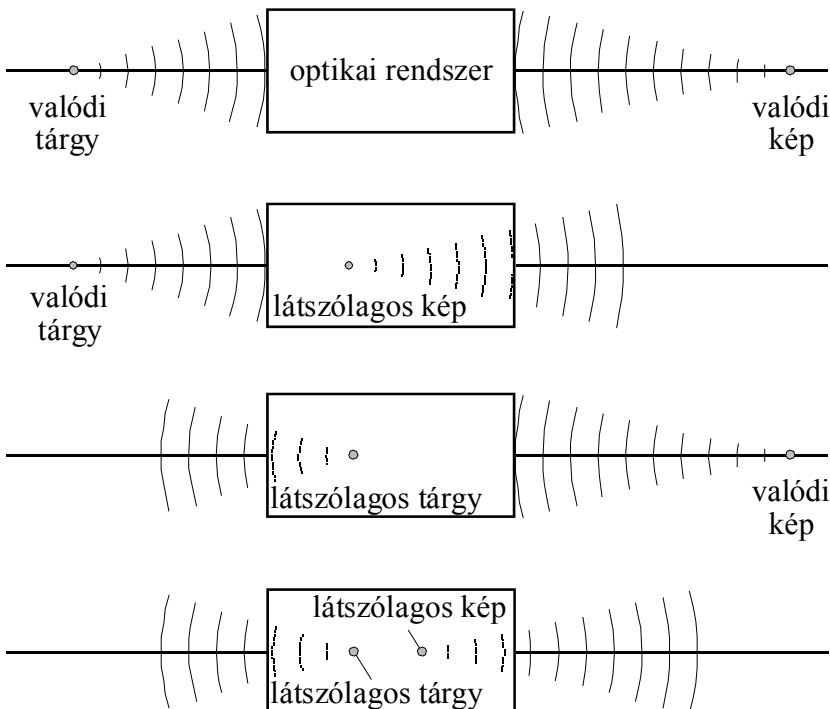
A prizma és a rács által létrehozott spektrum összehasonlítása



Az optikai leképezés hullámelméletéről. Az optikai eszközök felbontóképessége

Irodalom [3]: 285-286 §

Egy képalkotási hibáktól mentes optikai leképező rendszer – a geometriai optika szerint – **pontot pontba képez**. A jelenség hullámoptikai értelmezése: egy ideális képalkotó optikai rendszerre gömbhullám esik be, akkor az leképező eszközt szintén gömbhullám hagyja el.

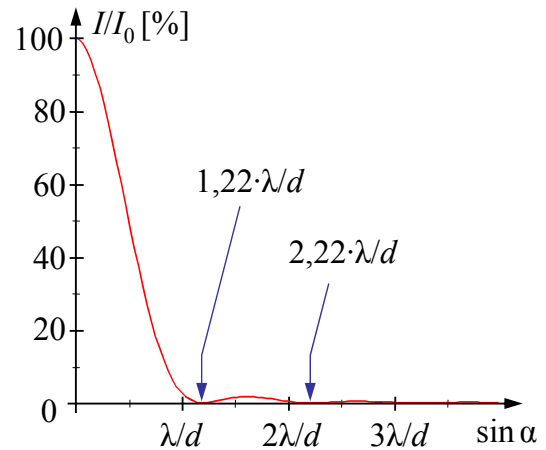
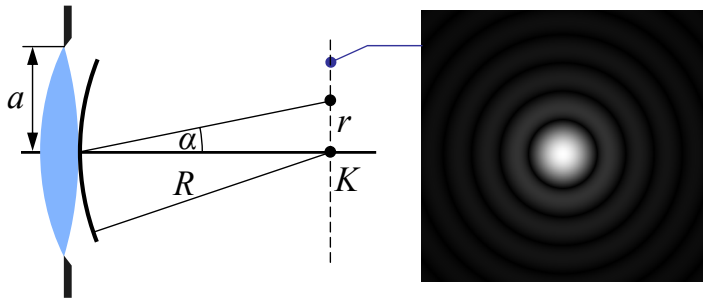


Szemléltetés víz hullámokkal



- A belépő és a kilépő hullámfrontok görbületi sugarát (a fősíkoknál) az $1/f = 1/t + 1/k$ leképezési egyenlet határozza meg.
- A kilépő – legtöbb esetben **kör** alakú – nyíláson **elhajlás** lép fel.
- Az elhajlást leíró – Huygens-Fresnel-elvet matematikai alakban kifejező – diffrakciós integrál vizsgálatával megmutatható, hogy ekkor a **képsíkbeli intenzitás** megegyezik a nyíláshoz tartozó **Fraunhofer-féle elhajláshoz** tartozó intenzitás mintázattal.

Fraunhofer-féle elhajlás kör alakú nyíláson



- Paraxiális közelítésben: $\sin \alpha \approx r/R$
- Az első sötét gyűrű sugarát jelölje ρ
- Az intenzitást leíró grafikonról leolvasható, hogy $\rho/R = 1,22 \cdot \lambda/d = 0,61 \cdot \lambda/a$

➔ $\rho = 0,61 \cdot (R/a) \lambda$

- Eredményünk azt mutatja, hogy az **elhajlás miatt** az ideális leképezés még egy képalkotási hibáktól mentes optikai leképező rendszer esetén **sem** valósul meg, hiszen a képsíkban egy pontnak egy korong – az ú.n. **elhajlási korong** – felel meg, amelynek a sugara

$\rho = 0,61 \cdot (R/a) \lambda$

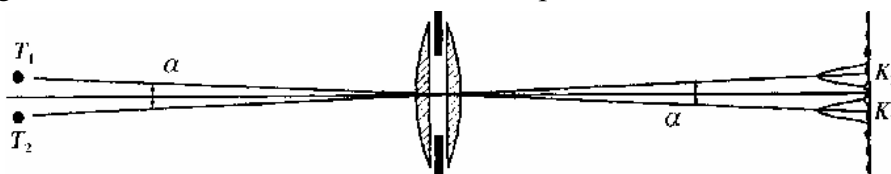
a a kilépő nyílás sugara, R a kilépő nyílást kitöltő hullámfront görbületi sugara, λ a hullámhossz.

Optikai eszközök felbontóképessége

- Optikai leképezés során mikor **különbözthető** meg két különálló **pontszerű** tárgy **képei**?
- Ha két kép **megkülönbözthető**, akkor azt mondjuk, hogy az optikai eszköz **felbontja** a két különálló pontszerű tárgyat.
- A **geometria optika** szerint **ideális** képalkotás esetén, a felbontásnak **elvileg nincsen** határa, hiszen a nagyítás növelésével a két pontszerű kép mindig felbontható.
- Valójában az **elhajlás** és a gyakorlatilag teljesen nem kiküszöbölhető **képalkotási hibák** mindig **korlátozzák** a felbontást.

Képalkotó optikai eszköz felbontási határa: Két, még éppen felbontott tárgy pont (szög)távolsága.

Képalkotó optikai eszköz felbontóképessége: Két, még éppen felbontott tárgy pont (szög)távolságának, azaz a felbontási határának a reciproka.

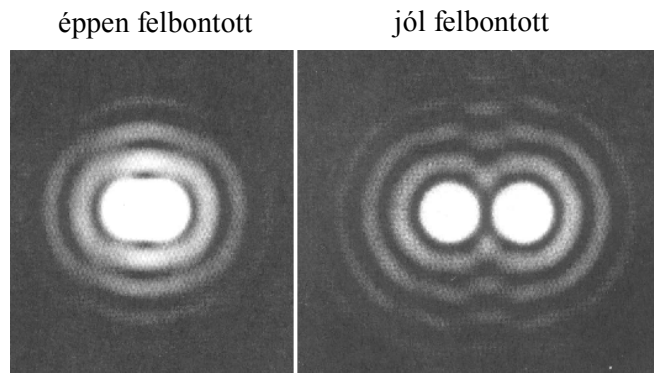


- A képek megkülönböztethetőségét nyilván valamilyen megállapodás alapján tudjuk eldönteni.

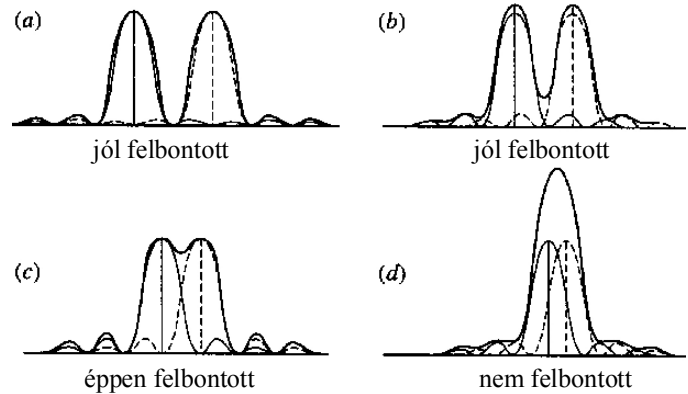
Rayleigh-féle kritérium:

A két tárgy pontot **felbontottnak** tekintjük, ha a képeiknek megfelelő elhajlási korongok közül az egyiknek a **középpontja** a másik **peremére**, vagy azon kívülre esik.

Az intenzitásokkal megfogalmazva, ez azt jelenti, hogy a felbontás határán az egyik kép intenzitás **maximuma** a másik kép intenzitásának az **első zérushelyére** esik.

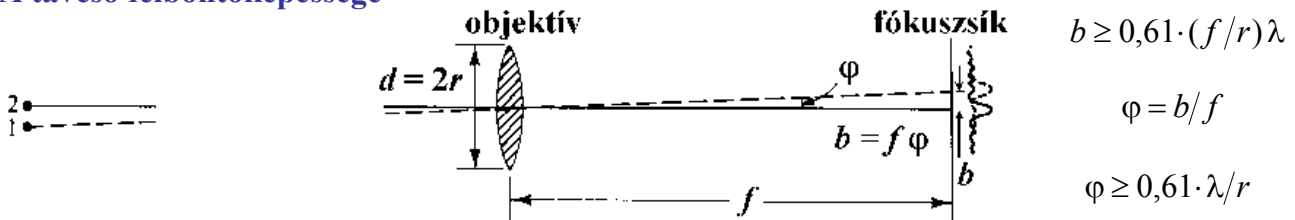


- Mivel a Rayleigh-féle kritérium esetén az intenzitásokat hasonlítjuk össze, nyilván a kritérium, akkor használható amikor **a két tárgy pont nem koherens fényt sugároz.**
- Ez az eset áll fenn többnyire az önállóan világító szokásos fényforrások (pl. izzó, napfény) esetén.
- Így a *távcső*, a *szem* és a *nagyító* szokásos használata esetén a Rayleigh-kritériumot közvetlenül alkalmazhatjuk.



- Koherens megvilágítás esetén további megfontolások szükségesek (Abbe-féle elmélet, stb).

A távcső felbontóképessége



a távcső felbontási határa

$$\varphi_h = 0,61 \cdot \lambda / r$$

a távcső felbontóképessége

$$F = \frac{1}{\varphi_h} = \frac{r}{0,61 \cdot \lambda}$$

Hawaii Mauna Kea csúcson lévő tükrös távcsőnél $d = 10$ m, így $\lambda = 0,5 \mu\text{m}$ -re

$$\varphi_h = 6,1 \cdot 10^{-8} \text{ rad} = 3,5 \cdot 10^{-6} \text{ fok} \quad \rightarrow \quad F \approx 1,64 \cdot 10^7$$

A szem felbontóképessége

A távcsőnél alkalmazott eljárás a szemre is érvényes, így a felbontás határát és a felbontóképességet ugyanazon formulák írják le.

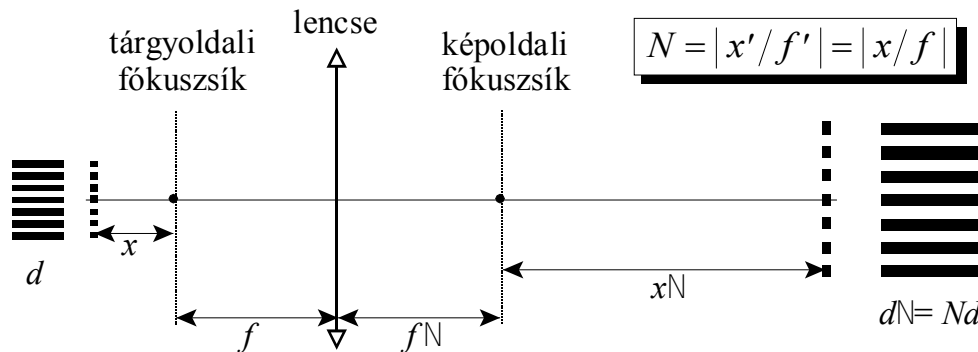
$$d = 4 \text{ mm pupilla átmérőre és } \lambda = 0,5 \mu\text{m-re} \quad \varphi_h = 0,153 \text{ mrad} = 0,52 \text{ ívperc}$$

$$F \approx 6557$$

Valójában az érzékelő sejtek sűrűsége és a leképezési hibák miatt a valódi érték a fizikai határ kétszerese: $\varphi_h = 0,3 \text{ mrad} = 1 \text{ ívperc}$! ($F = 3333$).

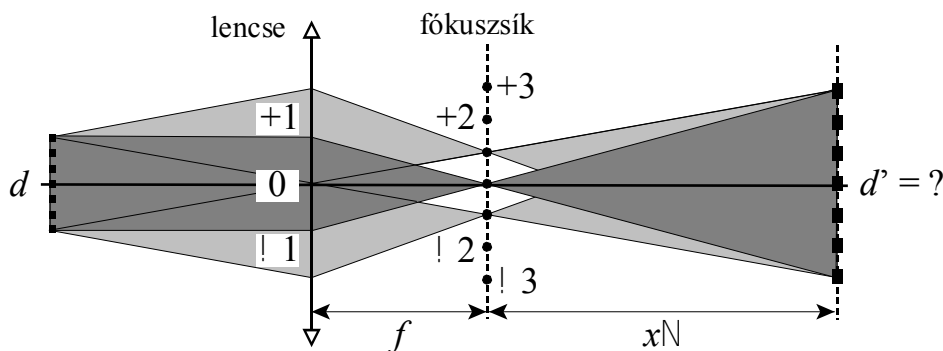
Koherens megvilágítás – Abbe-féle elmélet

- Koherens fényvel megvilágított *kis méretű tárgy* esetén a fényelhajlás jelentős hatással lehet a képre. Gyakorlatban a mikroszkópot használva találkozhatunk ezzel a problémával.
- Az interferencia miatt előfordulhat, hogy a létre jött kép egyáltalán nem hasonlít a tárgyra!
- **Mikor kapunk a tárgyhoz hasonló képet?**
- **Példa:** egy d rácsállandójú rácsot képezünk le egy lencsével, amelynek az adott kép és tárgy síkra vonatkozólag N a nagyítása. Mikor lesz a kép $d' = N \cdot d$ periódusú csíkrendszer?



- A kísérletek azt mutatják, hogy a kép ugyan egy világos-sötét csíkrendszer, de nem minden esetben azonos a tárgy N -szeresére nagyított csíkrendszerével!
- Abbe vizsgálatai szerint bizonyos feltételeknek teljesülnie kell ahhoz, hogy a kép a tárgyhoz hasonló legyen.

- A koherens megvilágítás miatt a tárgyon (itt rácson) áthaladó fénynél **elhajlás** lép fel.
- A lencse az egy **adott irányba** haladó **párhuzamos** fénysugarakat a fókusz síkjának egy **adott pontjába** gyűjti össze, így ebben a pontban megfigyelhető fényhatás attól függ, hogy az adott irányba elhajlított fény intenzitása milyen.
- Ez alapján megmutatható, hogy a fókusz síkbeli intenzitás megegyezik a tárgy által létrehozott Fraunhofer-féle elhajláshoz tartozó intenzitás mintázattal.
- A **példabeli** rács esetén a fókusz síkban megjelenik a rácstra jellemző diffrakciós mintázat, amelynek a maximumai olyan α szöggel adott irányban vannak, melyre $d \cdot \sin \alpha = m \cdot \lambda$, ahol $m = 0, \pm 1, \pm 2, \pm 3, \dots$ a diffrakció rendszáma.
- Az alábbi ábrán csak a $0, \pm 1$ rendeknek megfelelő párhuzamos sugarakból álló elhajlított fénynyalábokat tüntettük fel, a többi rendszámra csak a maximumok helyét szemléltetjük.



- Azonban a leképezésben nem feltétlenül minden diffrakciós rend vesz részt, például a lencse nyílásának végeessége, vagy a fókusz síkban elhelyezett nyílásrendszer (u.n. *térszűrő*) blokkoló hatása (, vagy egyéb blokkoló hatás) miatt.

- Belátható, hogy a fókuszsíktól tovább terjedő fény a képsíkban ismét egy **csíkrendszert** hoz létre, azonban a periódusa **nem** feltétlenül **N -szerese** a tárgy periódusának!
- Ha a képbeli csíkrendszer periódusa nem N -szerese tárgy periódusának, akkor a képet **nem** tekinthetjük a tárgyhöz **hasonlónak**. Ekkor a kép alapján nyilván **nem** tudjuk megmondani, hogy milyen **valójában** a tárgy!

Abbe a koherens leképezéssel kapcsolatban a következőket állapította meg:

- Ahhoz hogy a kép a tárgyhöz hasonló legyen szükséges és elégséges, hogy legalább három szomszédos diffrakciós rend ($m-1, m, m+1$) részt vegyen a leképezésben.

A példánkban a 0 rend mellett szükséges, hogy a ± 1 rendek is áthaladjanak a lencse nyílásán. Ehhez nyilván a d rácsállandó nem lehet kisebb egy bizonyos értéknél, hiszen d csökkenésével az elhajlási szög növekszik, így egy adott rácsállandó alatt a diffrakciós rendek kicsúsznak a lencse nyílásán túlra.

- A kép annál inkább hasonlít a tárgyra, minél több diffrakciós rend vesz részt a leképezésben.

A példánkban a képbeli sötét és világos csíkok közötti ármenet meredekebb lesz a leképezésben résztvevő diffrakciós rendek számának növekedésével. A tárgy esetén ezek az átmenetek ugrásszerűek.

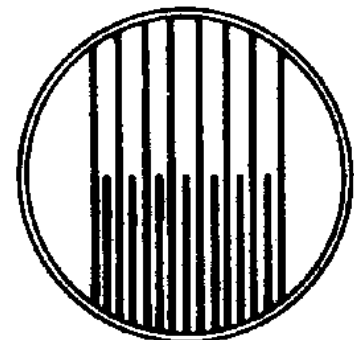
- Két eltérő távolságú tárgybeli pontpár ugyanolyan képsíkbeli elhajlási korong képpárt hozhat létre, amely azt jelenti, hogy legalább az egyik esetben a kép nem hasonló a tárgyhöz!

A példánkban egy $d/2$ rácsállandójú rács esetén például a 0 és ± 1 rendek egybe esnek az eredeti rács 0 és ± 2 rendjeivel. Így, ha az eredeti esetben a képpalkotásban a 0 és ± 2 rendek, a feles periódusú rácsnál a 0 és ± 1 rendek vesznek részt, akkor a képsíkban mindkét esetben ugyanazon $Nd/2$ periódusú csíkrendszert kapunk.

Az előbbi megállapítások szemléltetése az Abbe-féle optikai kettős ráccsal.

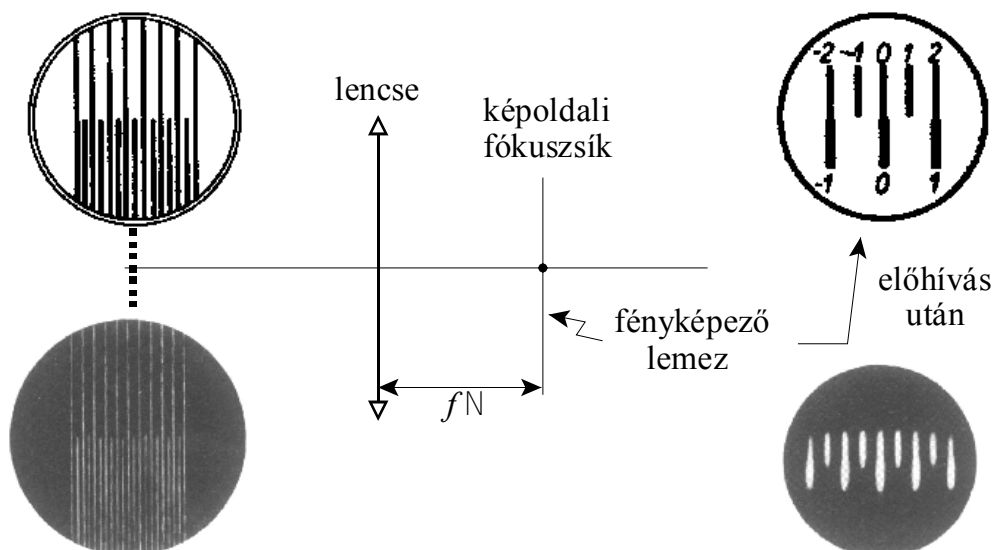
Abbe-féle optikai kettős rács

- Olyan optikai rács, melynél a párhuzamos karcolatok alul kétszer sűrűbben helyezkednek el, mint a rács felső részében.

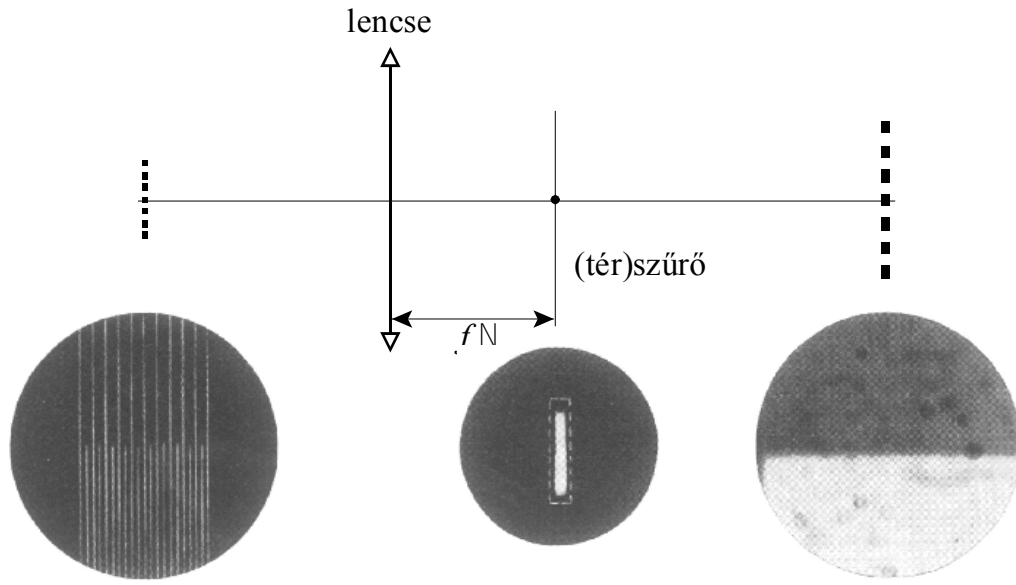


Kísérlet az Abbe-féle optikai kettős ráccsal

- Az ábrán látott elrendezésben a képoldali fókusz síkba egy fényképező lemezt (filmet) teszünk, akkor előhívás után a lemezen egy csíkrendszert kapunk. Az egyes csíkok mellé írt számok a diffrakciós rendszámot mutatják.

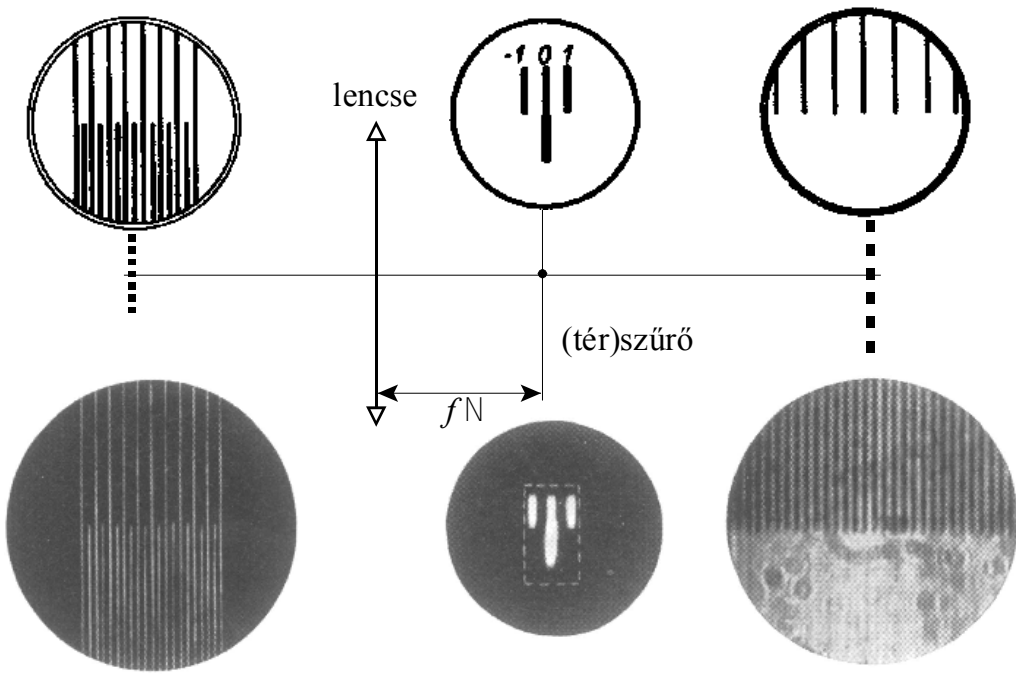


- A fényképező lemez alapján készíthetünk egy nyílásrendszert (térshűrőt), amelyet a fókusz-síkba helyezve, bizonyos diffrakciós rendeket kizárhatunk, míg másokat átengedhetünk.
- Ha olyan shűrőt használunk, amely csak nulladrendeket engedi át, akkor a képsíkban az ábrán látható kép jön létre.



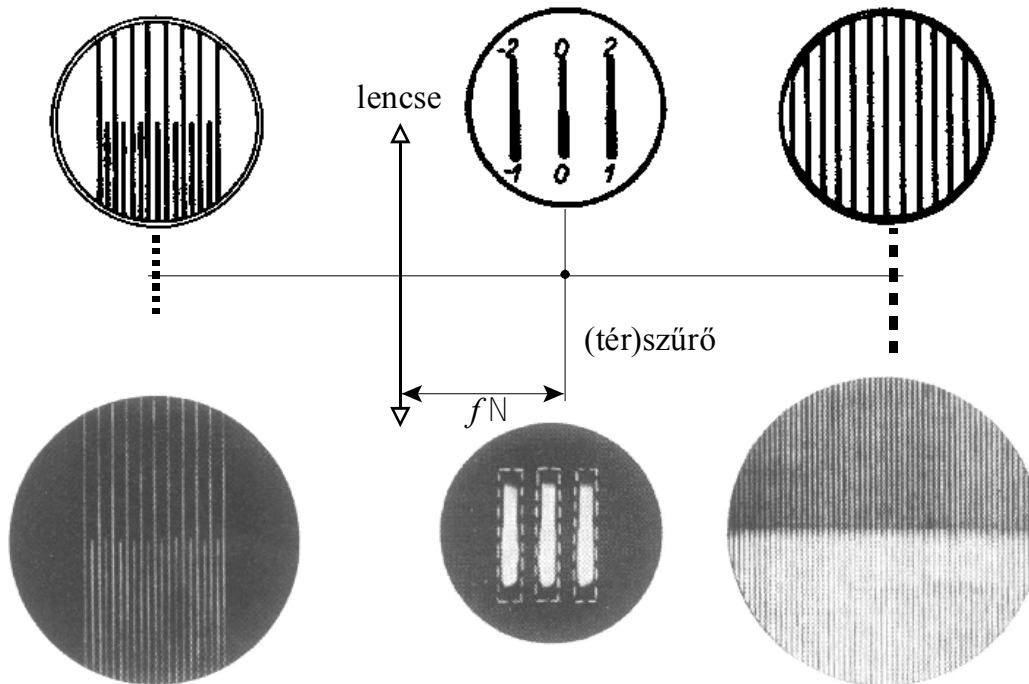
- Látható, hogy a keletkező kép nem hasonlít a tárgyra. Ezt azzal magyarázhatjuk, hogy a nulladrend önmagában nem elegendő a tárgyhoz hasonló képalkotáshoz, ehhez még szükséges két szomszédos diffrakciós (pl. a ± 1) rend átengedése is.

- Ha olyan shűrőt használunk amely a felső résznél átengedi a 0 és a ± 1 rendeket, az alsó résznél csak 0 rendet engedi át, akkor a képsíkban az ábrán látható kép jön létre.



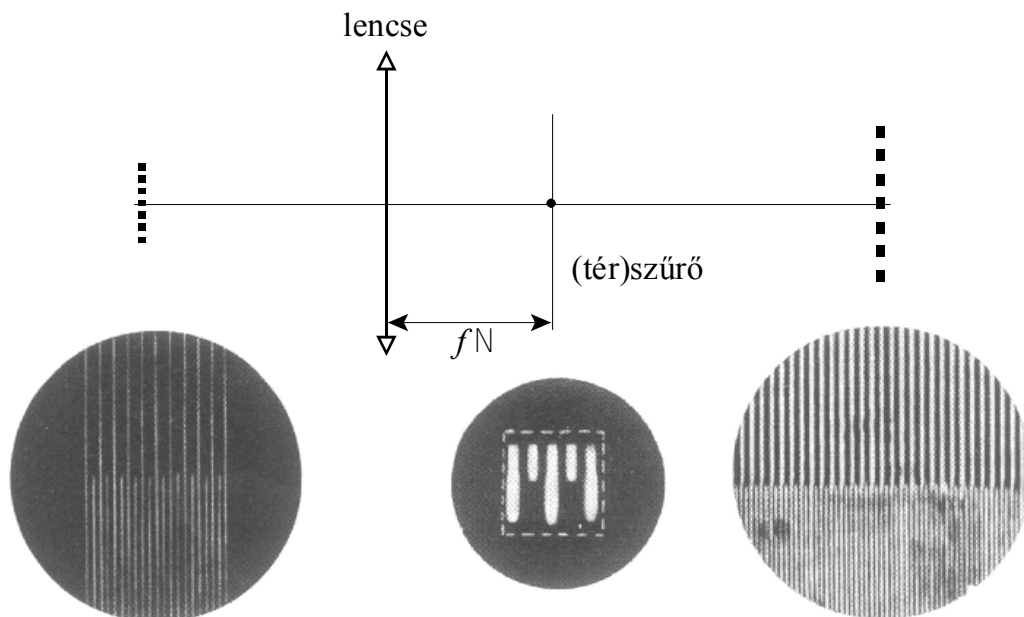
- Látható, hogy a rács felső feléről hasonló képet kaptunk, míg az alsóról nem.

- Ha olyan szűrőt használunk amely a felső résznél átengedi a 0 és a ± 2 rendeket, az alsó résznél a 0 és a ± 1 rendeket engedi át, akkor a képsíkban az ábrán látható kép jön létre.



- Látható, hogy a képbeli csíkrendszer alul és felül is ugyanolyan periódusú, pedig a hasonló képhez felül kétszer ritkább csíkrendszert kellene kapni.

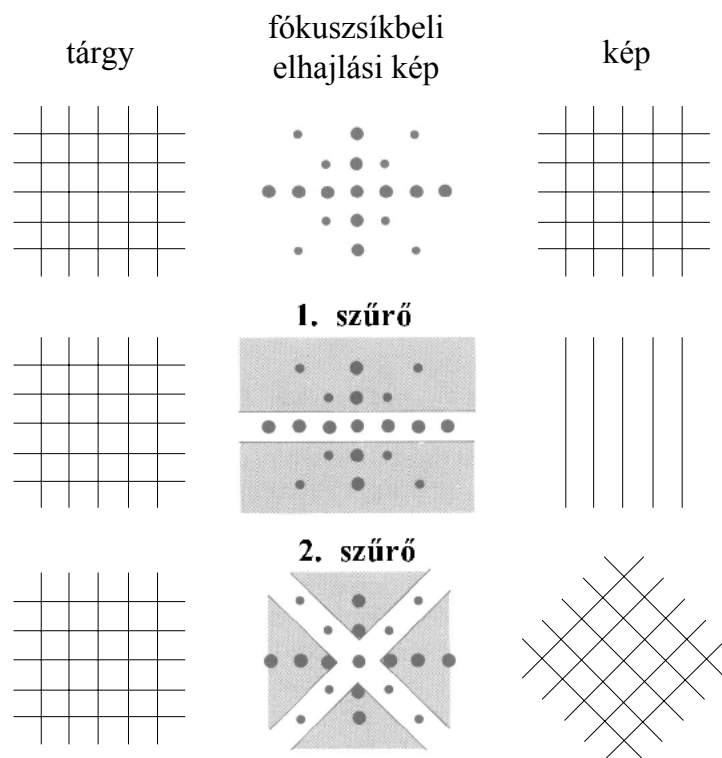
- Ha olyan szűrőt használunk amely a felső résznél átengedi a 0, a ± 1 és a ± 2 rendeket, az alsó résznél a 0 és a ± 1 rendeket engedi át, akkor a képsíkban az ábrán látható kép jön létre.



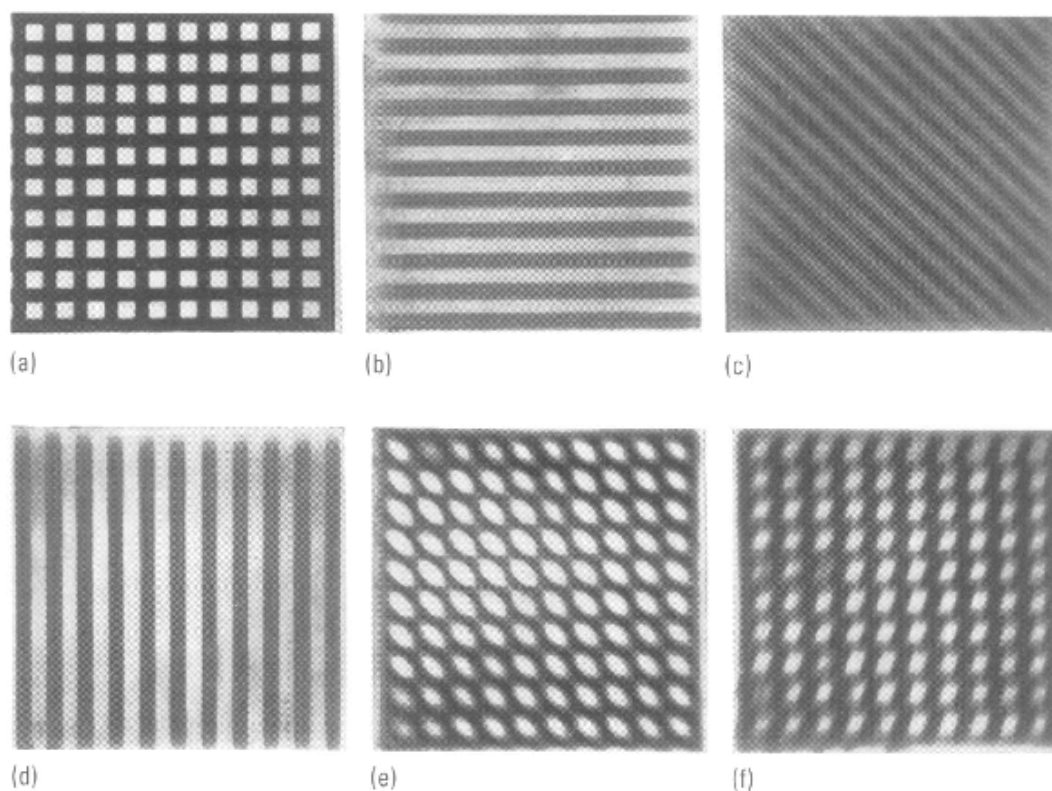
- Látható, hogy a képbeli csíkrendszer hasonló a tárgyhoz és a felső csíkrendszer élesebb mint amikor felül csak a 0, ± 1 rendeket engedték át.
- További magasabb diffrakciós rendek átengedésével a csíkok még élesebbek lesznek és kép még inkább hasonlít a tárgyra.

Az Abbe-féle elmélet további kísérleti szemléltetése

- Egy lencsével egymásra merőleges csikokból álló tárgyat képezünk le.
- Szűrő nélkül (azaz sok diffrakciós rendet átengedve) az első sorban látható képet kapjuk.
- Ha a fókusz síkba az 1. és a 2. térszűrőt helyezzük, akkor a következő képeket kapjuk.



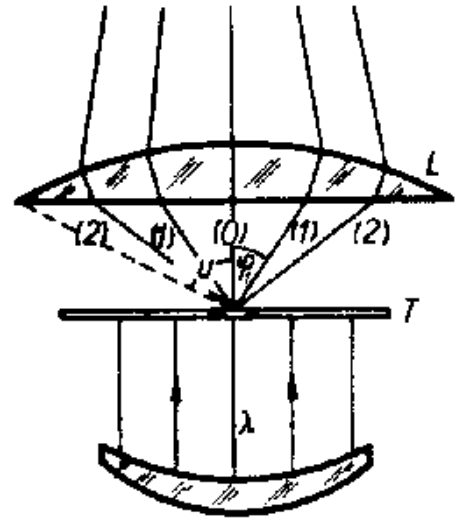
- Egy lencsével egymásra merőleges csikokból álló tárgyat képezünk le (a).
- A fókusz síkba egy keskeny forgatható rést helyezünk.
- A rés forgatásával a (b), (c), ..., (f) képeket kapjuk.



A mikroszkóp felbontóképessége

koherens megvilágítás

- A mikroszkóppal vizsgált – felbontani kívánt – tárgy szerkezetének lineáris méretét jelölje d .
- A koherens megvilágítás miatt a tárgyon elhajlás lép fel. Az diffrakciós rendek φ_m elhajlási szögét a $d \cdot \sin \varphi_m = m \cdot \lambda$ egyenletből számíthatjuk ki.
- Az Abbe-féle elmélet alapján, ahhoz, hogy a tárgyhoz hasonló képet kapjunk, legalább a 0 és a ± 1 elhajlási rendeknek át kell menniük az objektívén.
- Ehhez nyilván az szükséges, hogy a ± 1 elhajlási rendek az objektív apertúráján (nyílásán) belülre essenek, azaz – az ábra jelöléseit használva –



$$u \geq \varphi_1 .$$

$$\sin u \geq \sin \varphi_1$$

$$d \cdot \sin \varphi_1 = 1 \cdot \lambda$$

$$\sin u \geq \lambda/d$$

A felbontás határán: $\sin u = \lambda/d$

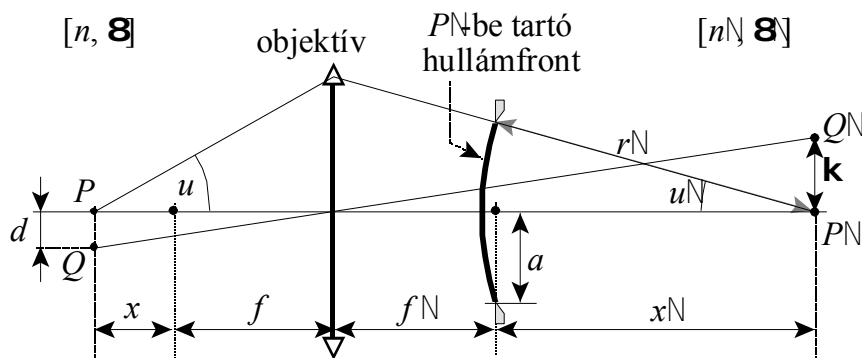
$$F = \frac{1}{d} = \frac{\sin u}{\lambda} = \frac{n \sin u}{\lambda_0},$$

ahol n az objektív és a tárgy közötti közeg törésmutatója,
 λ_0 a vákuumbeli hullámhossz.

$$F = \frac{n \cdot \sin u}{\lambda_0}$$

inkoherens megvilágítás

- A mikroszkóppal vizsgált – felbontani kívánt – tárgy szerkezetének lineáris méretét jelölje d .
- P és Q pontok képei P' és Q' .



- A Rayleigh-féle kritérium alapján, a felbontás határán a Q' éppen P' -hez tartozó elhajlási korong peremére esik, így a felbontás határán

$$\rho = 0,61 \cdot \lambda' \frac{r'}{a} = \frac{0,61 \cdot \lambda'}{\sin u'}$$

Az aberráció mentes leképezésre teljesül a szinuszfeltétel:

$$d \cdot n \cdot \sin u = \rho \cdot n' \cdot \sin u'$$

$$\rho = \frac{0,61 \cdot \lambda'}{d \cdot n \cdot \sin u} = \frac{0,61 \cdot \lambda'}{d \cdot n \cdot \sin u} \rho \cdot n'$$

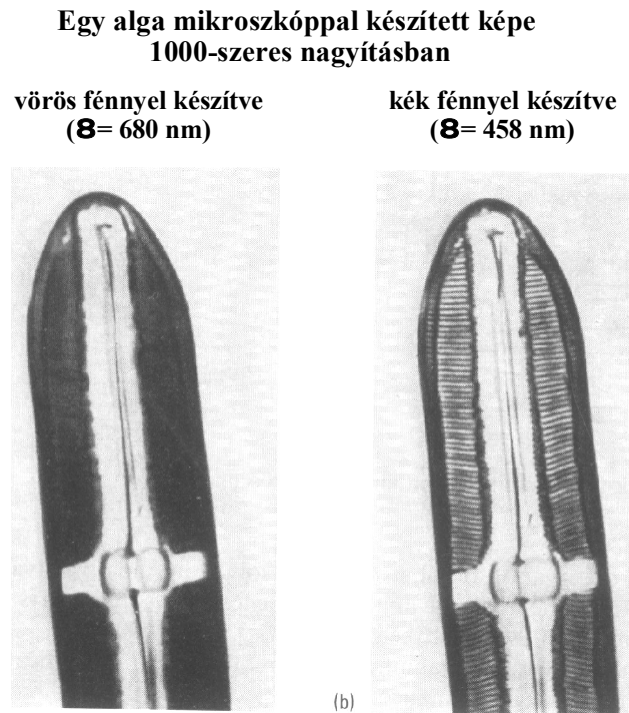
azaz

$$\frac{0,61 \cdot \lambda'}{d \cdot n \cdot \sin u} \cdot n' = 1$$

Így a felbontóképesség: $F = \frac{1}{d} = \frac{n \cdot \sin u}{0,61 \cdot \lambda' \cdot n'} = \frac{n \cdot \sin u}{0,61 \cdot \lambda_0}$

$$F = \frac{n \cdot \sin u}{0,61 \cdot \lambda_0}$$

- Látható, hogy a két (koherens és inkoherens) eset azonos nagyságrendű eredményre vezet, hiszen csak a nevezőben lévő 0,61 szorzótényezőben különböznek!
- A számlálóban lévő $n \cdot \sin u$ mennyiséget az objektív **numerikus apertúrájának** nevezzük, és az objektív egyik fontos értékmérője!
- A felbontóképesség a numerikus apertúrával arányosan nő, ezért nagyobb felbontóképesség eléréséhez nagy numerikus apertúrájú objektív használata szükséges.
- Mivel a törésmutató tipikus értéke 1 és 1,5 közé esik és $\sin u \leq 1$, a feloldás határáról (vagyis a még éppen felbontott pontok távolságáról) megállapíthatjuk, hogy a megvilágító fény vákuumbeli hullámhosszával azonos vagy annál nagyobb nagyságrendű.
- Ebből arra következtethetünk, hogy rövidebb hullámhosszúságú fényt alkalmazva finomabb részleteket tudunk felbontani!

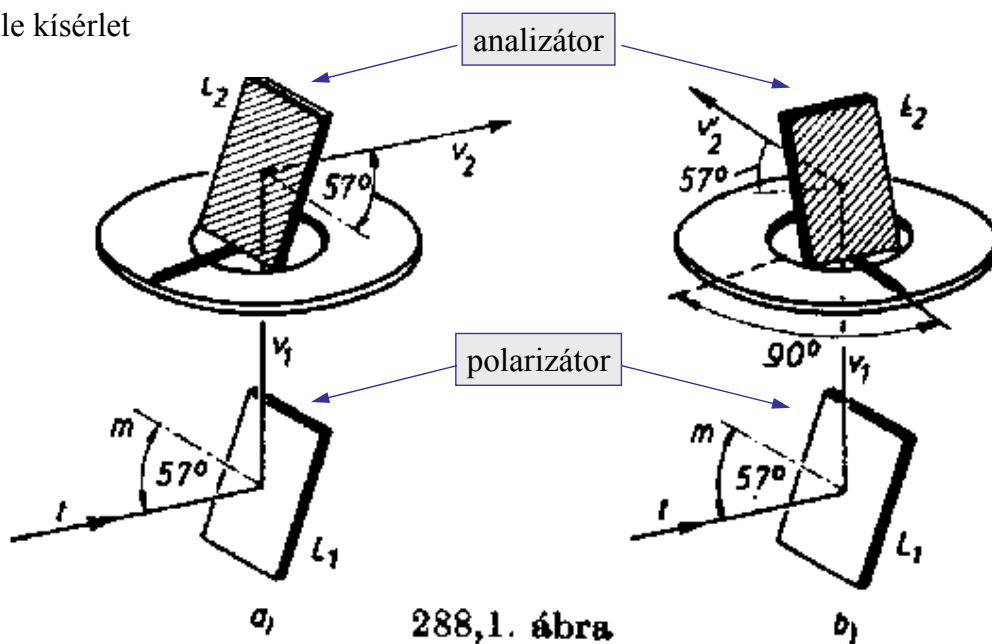


Polarizáció. Kettőtörés, dikroizmus, optikai aktivitás. Polarizátorok, a fény polarizációján alapuló eszközök

Irodalom [3]: 288-291 §

A fény polarizációja, polarizáció visszaverődésnél

- Malus-féle kísérlet



A kilépő J_φ és a beeső J_0 fényintenzitások közötti viszonyt a Malus-féle törvény írja le:

$$J_\varphi = J_0 \cos^2 \varphi$$

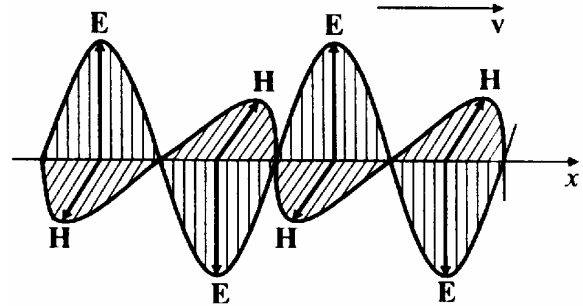
- A Malus-féle kísérlet azt mutatja, hogy a fény polarizálható.
- A fény polarizálhatósága azt mutatja, hogy a fény transzverzális hullám.
- A fényhullámok transzverzális természete a Maxwell-féle egyenletekből levezethető, ami azt mutatja, hogy az elektromágneses fényelmélet számot ad a polarizációról is.

Példák poláros fényhullámra (síkhullámok)

- Lineárisan poláros fény

$$\vec{E} = E_0 \sin \left[\omega \left(t - \frac{x}{c} \right) + \alpha \right] \vec{e}_y$$

$$\vec{H} = H_0 \sin \left[\omega \left(t - \frac{x}{c} \right) + \alpha \right] \vec{e}_z$$



az elektromos és mágneses térerősségek merőlegesek egymásra és a terjedési irányra, és két egymásra merőleges, a terjedési irányon átfektetett síkban rezegnek.

rezgési sík: az a sík, amelyben az \mathbf{E} vektor rezeg.

polarizációs sík: a rezgési síkra merőleges sík (\mathbf{H} vektor síkja).

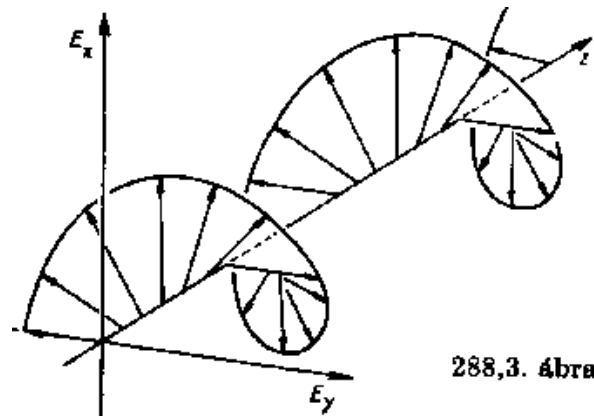
Két egymásra merőleges rezgési síkú, 0° vagy 180° fáziskülönbségű ($\delta = 0; \pi$) lineárisan poláros fény összege szintén lineárisan poláros fényt eredményez.

- Ellipszisben poláros fény

Az \mathbf{E} és \mathbf{H} vektorok a terjedési irányra merőleges síkokban lévő ellipszis mentén körbe forog.

A különböző síkokban a forgásban a síkok távolságának megfelelően fáziskülönbség van.

Két egymásra merőleges rezgési síkú lineárisan poláros fény összegének tekinthető.



288,3. ábra

- Körben poláros fény poláros fény

Az ellipszisben poláros fény speciális esete: az ellipszis kis- és nagytengelye egyenlő ($a = b$).

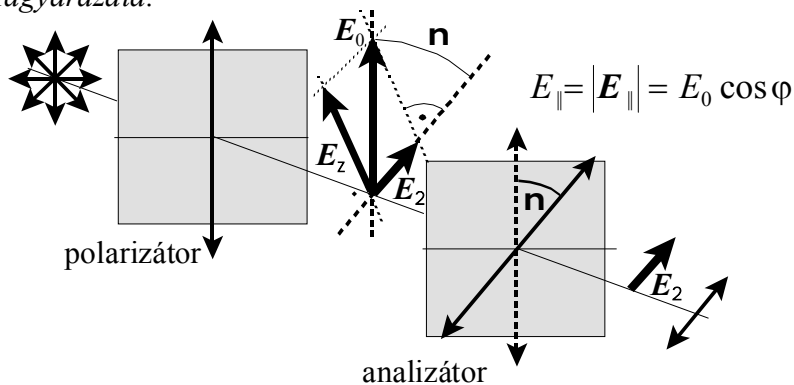
Két azonos amplitúdójú és 90° vagy 270° fáziskülönbségű és egymásra merőleges rezgési síkú lineárisan poláros fény összege ($A_x = A_y$ és $\delta = \pi/2; 3\pi/2$).

Természetes fény

- A fényforrások egy jelentős részének a közvetlen fénye nem poláros.
- Az ilyen fényt természetes fénynek nevezik.
- *Magyarázata:* A fényforrást alkotó nagy számú atom egyenként ugyan poláros hullámvonulatot sugároz, azonban ezek rezgési síkja teljesen rendezetlenül, igen gyorsan változik, így a lehető legrövidebb mérési időre is egyetlen sík sem lehet kitüntetett.

$$J_\varphi = J_0 \cos^2 \varphi$$

Magyarázata:



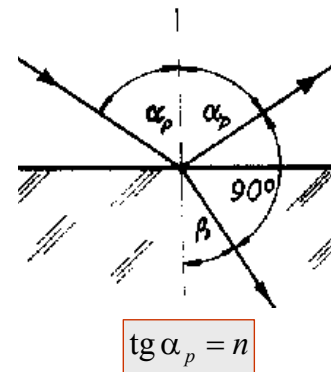
$$J_\varphi = \frac{E_\parallel^2}{2Z} = \frac{(E_0 \cos \varphi)^2}{2Z} = \frac{E_0^2}{2Z} \cos^2 \varphi = J_0 \cos^2 \varphi$$

- A polarizátor csak egy adott rezgési síkba eső fényhullámot engedi át, azaz a természetes fény rendezetlen rezgési síkjai közül kiválaszt egyet (vagyis polarizálja a fényt).
- A polarizátorhoz képest φ szöggel elforgatott analizátor ugyancsak az általa kijelölt síkba eső térerősség komponensét engedi át. Az átengedett térerősségből az intenzitás már kiszámítható:

Brewster-féle szög (polarizációs szög)

- A tapasztalat szerint, ha egy átlátszó közegre természetes fény esik, és a megtört és a visszavert sugarak egymásra merőlegesek, akkor a visszavert fény lineárisan poláros, és a rezgési síkja merőleges a beesési síkra (*Brewster törvénye*).
- Ezt a beesési szöget nevezik Brewster-féle (vagy polarizációs) szögnek.

$$n = \frac{\sin \alpha_p}{\sin \beta} = \frac{\sin \alpha_p}{\sin(90^\circ - \alpha_p)} = \frac{\sin \alpha_p}{\cos \alpha_p} = \operatorname{tg} \alpha_p$$



- A Malus-féle kísérletnél használt üveglemezre a polarizációs szög 57° . Éppen ezért 57° -os a beesési szög a kísérletnél!

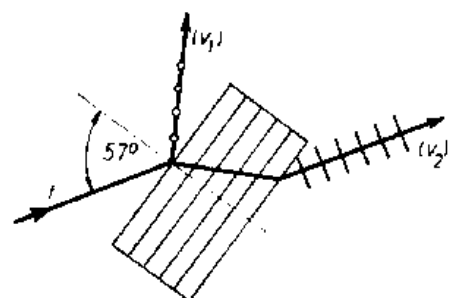
Polarizáció törésnél

- Brewster-törvénye alapján azt várhatnánk, hogy a közegbe behatoló fény is olyan lineárisan poláros lesz, amelynek a rezgési síkja a beesési sík.
- A tapasztalat azonban azt mutatja, hogy a polarizációs szög alatt beeső természetes fény esetén a közegbe behatoló fény csak *részlegesen poláros*. Egy analizátort forgatva maximális fényintenzitást kapunk a beesési síkkal párhuzamos állásnál, míg minimális intenzitást erre merőleges állású (keresztezett) analizátorra.
- Az átmenő fény polarizációjának fokát a Q **polarizációs fokkal** jellemezzük:

$$Q = \frac{J_{\max} - J_{\min}}{J_{\max} + J_{\min}},$$

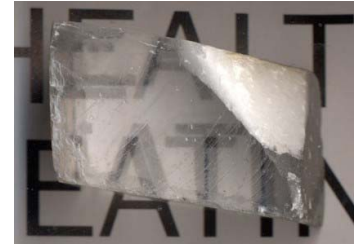
ahol J_{\max} és J_{\min} az analizátor forgatásakor mért maximális és minimális intenzitás. Látható, hogy $0 \leq Q \leq 1$, és természetes fényre $Q = 0$, lineárisan poláros fényre $Q = 1$.

- Az átmenő fény polarizációs foka további töréseknél mindig növekszik, így egyre inkább megközelíti az 1 értéket.
- Így az ábrán látható üveglemez-sorozattal gyakorlatilag az átmenő fény is lineárisan polárossá tehető.



Kettős törés

- Bizonyos átlátszó kristályos anyagon (például mézspát [CaCO_3] kristályon) keresztül nézve kettős képet látunk.
- A jelenséget *kettős törésnek* nevezzük, és úgy magyarázzuk, hogy a tárgy bármely pontjából kiinduló fénysugár a kristályon való áthaladáskor, két különbözőképpen megtört sugárra bomlik.
- Egy polarizátorral könnyen megmutatható, hogy a két különböző irányba megtört sugár mentén terjedő fény **egymásra merőleges rezgési síkokban lineárisan poláros**.
- A kettős törés mélyebb oka a kristályok szerkezetében rejlő *anizotropia*, amely azt jelenti, hogy a fizikai tulajdonságok szempontjából az irányok nem egyenértékűek. Azaz bizonyos fizikai mennyiségek irányfüggőek lehetnek.
- Anizotrop kristályban a hullámfront elemi hullámforrásnak tekinthető pontjai **két** egymásra **merőlegesen** poláros elemi fénycsugár sugároznak ki, melyek terjedési sebessége – az anizotropia miatt – függ a **polarizáció** irányától és a **terjedési** iránytól is.



Ordinárius és extraordinárius sugarak

- A kísérletek azt mutatják, hogy a két különbözőképpen törő sugár nem minden esetben követi a szabályos törést általában leíró *Snellius-Descartes-féle törvényt*!
- A Snellius-Descartes-féle törvényt **követő** sugarakat *rendes* vagy *ordinárius* sugaraknak nevezzük. Ezek sugarak szabályosan viselkednek, terjedési sebességük nem irányfüggő.
- A Snellius-Descartes-féle törvényt **nem követő** sugarakat *rendellenes* vagy *extraordinárius* sugaraknak nevezzük. Ezek terjedési sebessége irányfüggő.

Optikai tengely és főmetszet

- Bizonyos irányokra a kristályban terjedő két egymásra merőlegesen poláros hullámok terjedési sebessége megegyezik. Ezekkel az irányokkal párhuzamos bármely egyenest *optikai tengelynek* nevezzük. Bármely az optikai tengelyt tartalmazó síkot *főmetszetnek* nevezünk.
- A tapasztalat szerint a kettősen törő anyagoknak optikailag két fajtája van:

Az u.n. *egytengelyű kristályoknak* egy, a fenti tulajdonsággal rendelkező irány található. Ezekre *a két sugár közül az egyik ordinárius, míg a másik extraordinárius sugár*.

Az u.n. *kéttengelyű kristályoknál* kettő, a fenti tulajdonsággal rendelkező irány található. Ekkor *mindkét sugár extraordinárius*.

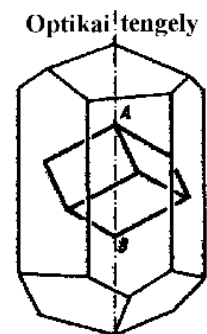
- A példaként említett mézspát kristály egytengelyű. A hexagonális kristálytani rendszerbe tartozó mézspát könnyen hasítható romboéderekre. Az ábrán *A* és *B* jelöli azokat csúcsokat, ahol a rombuszlapok élei tompaszögben találkoznak. A mézspát kristály esetén az optikai tengely irányát az *AB* egyenes jelöli ki.
- Mind az ordinárius, mind az extraordinárius sugarakra definiálhatjuk a törésmutatót a szokásos definícióval:

$$n_o = c/v_o,$$

$$n_{eo} = c/v_{eo},$$

ahol v_o és v_{eo} a fázissebesség az ordinárius és extraordinárius sugarakra, c a vákuumbeli fázissebesség. Mivel az extraordinárius sugarakra a fénysebesség irányfüggő, így az ezekre vonatkozó törésmutató szintén irányfüggő.

- Nyilván az optikai tengely irányában a két fajta sugárra vonatkozó törésmutató megegyezik.



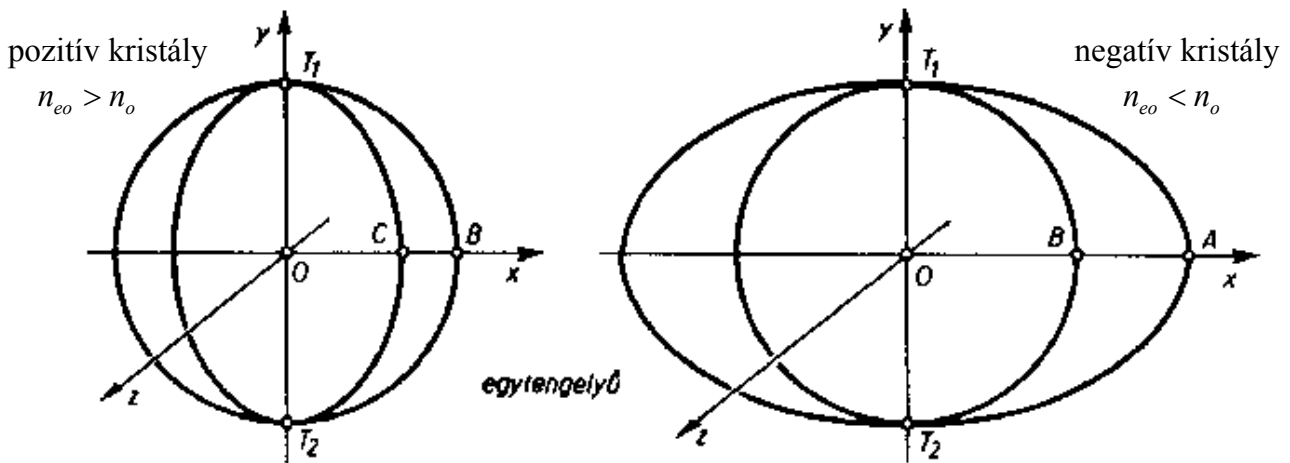
A kettős törés magyarázata Huygens elve alapján

- Az kristálybeli O pontban lévő hullámforrásból két egymásra merőlegesen lineárisan poláros fénycsugár indul ki, ezek közül legalább az egyiknek a terjedési sebessége irányfüggő!
- Az egyszerűség kedvéért tekintsünk egytengelyű kristályt!

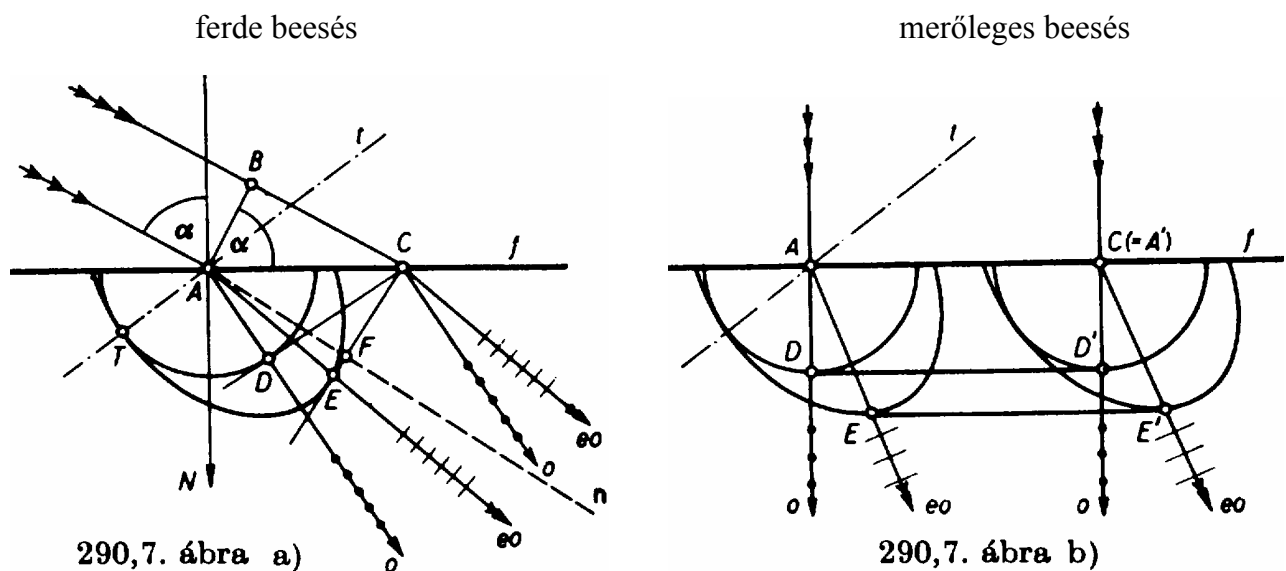
Ekkor az ordinárius sugarakra a terjedési sebesség nem irányfüggő, így az O pontban keltett zavar egy adott idő alatt az OB sugarú gömbfelületre ér.

Az irányfüggő terjedési sebességű extraordinárius sugarakra, az O pontból kiinduló zavar ugyanezen idő alatt – itt nem részletezett elméleti megfontolásokkal indokolhatóan – egy forgási ellipszoidra jut el. Az ellipszoid forgástengelye a kristály optikai tengelye.

A két fajta hullámfelület az optikai tengelyen érintkezik (T_1 és T_2 pontok).



Síkhullám kettős törése egytengelyű kristályban



- A sugarak és hullámfelület normálisa különböző irányú, így az energia és a hullámfelületek eltérő irányban terjednek!
- Ha a fény az **optikai tengelyre merőlegesen** esik be, akkor a két sugár nem válik ketté, így ekkor **látszólag nincs kettős törés!** Azonban a fény az o és az eo sugarak mentén **eltérő** sebességgel terjed, így a két hullám között **fáziskülönbség** lép fel!

- Az előbb tárgyalt „természetes” kettős törésen kívül más esetekben is felléphet kettős törés. Ekkor az eredetileg izotrop anyag valamilyen külső fizikai hatásra anizotróppá válik.

A kettős törés egyéb esetei

- Feszültségi kettős törés (mechanikai feszültség)
- Elektromos kettős törés (Kerr-féle effektus)

$$n_{eo} - n_o = K_\lambda \cdot \lambda \cdot \vec{E}^2$$

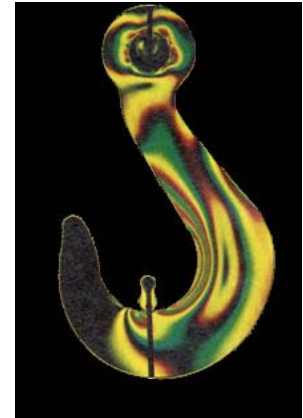
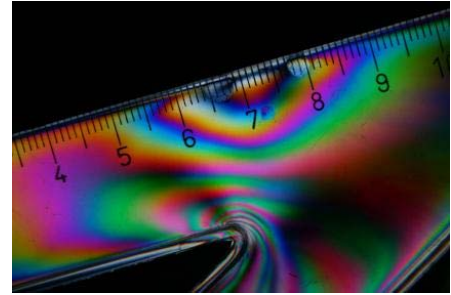
- Mágneses kettős törés (Cotton-Mutton-féle effektus)

$$n_{eo} - n_o = C_\lambda \cdot \lambda \cdot \vec{H}^2$$

- Áramlási kettős törés

- Pockel-effektus

Néhány egytengelyű kristály (pl. KDP) az optikai tengelyével azonos elektromos tér hatására kéttengelyű válik.

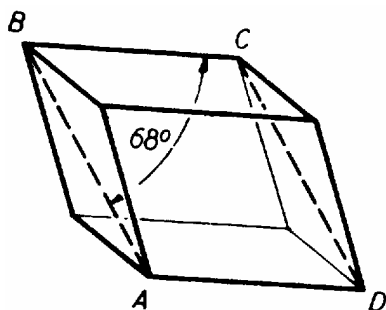


Polarizációs készülékek

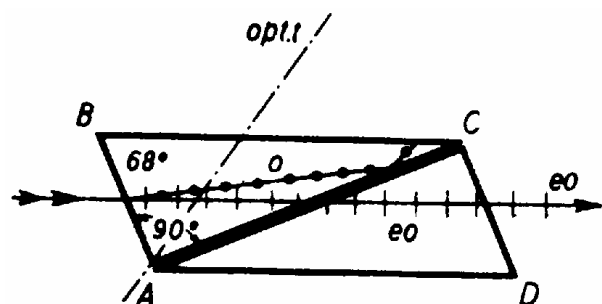
Lineárisan poláros fény előállítás

- Visszaverődés Brewster-féle szög alatt
- Üveglemez-sorozat
- Kettős törés felhasználásával

Nicol-féle prizma



291,1. ábra

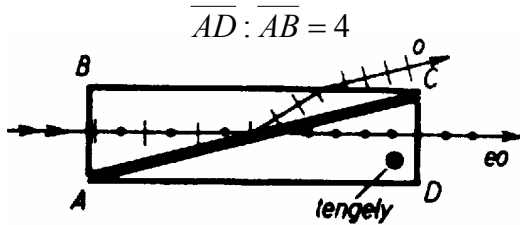


291,2. ábra

Hátrányai:

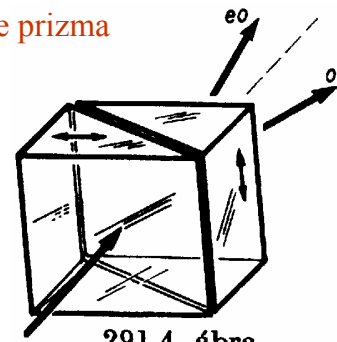
- A csiszolt lapokon nem merőlegesen halad át a sugár, ezért sík-párhuzamos lemezhez hasonlóan a fénysugár eltolódik. Így a prizma forgatásakor a látómező elmozdul.
- A ferde beesés és a diszperzió nem monokromatikus fénynél kromatikus hibát okoz.

Glan-Thomson-féle prizma



291,3. ábra

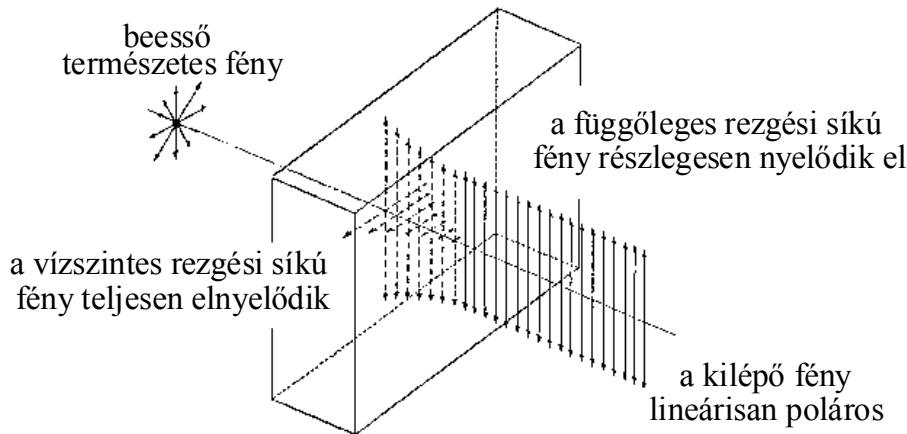
Wollaston-féle prizma



291,4. ábra

Polarizációs szűrők

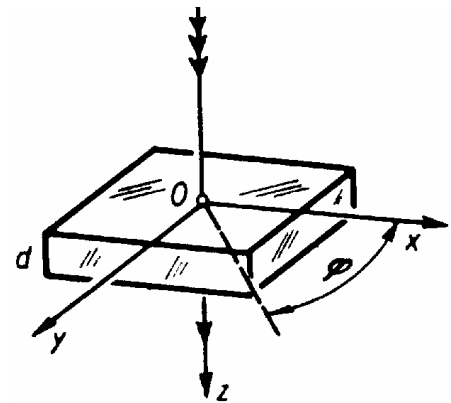
Működésük azon alapul, hogy bizonyos kettősen törő anyagok a két sugár közül az egyiket a másiknál sokkal erősebben nyelik el (**dikroizmus**).



Ellipszisben és körben poláros fény előállítása

- Az optikai tengellyel párhuzamosan csiszolt d vastagságú kristálylapra lineárisan poláros fény merőlegesen esik be, akkor látszólag nem lép fel kettős törés, azonban a kristályban terjedő két egymásra merőlegesen, lineárisan poláros (o és eo) hullám között

$$\delta = \frac{2\pi}{\lambda} (n_{eo} - n_o) \cdot d \quad \text{fáziskülönbség lép fel.}$$



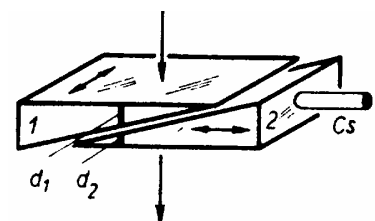
Ekkor a lemezből elliptikusan poláros fény lép ki. Az ellipszis helyzetét és alakját a két hullám amplitúdója (E_o és E_{eo}) és a δ fáziskülönbség határozza meg.

- Ha a beeső fény rezgési síkja a kristályban terjedő kétféle hullám rezgési síkjával 45° -os szöget zár be, akkor $E_o = E_{eo}$ teljesül, valamint d -t úgy választjuk meg, hogy $\delta = \pi/2$ vagy $3\pi/2$ legyen, akkor a lemezből cirkulárisan poláros fény lép ki.

Mivel a $\delta = \pi/2$ -nek $\lambda/4$ útkülönbség felel meg, az ilyen lemezt **$\lambda/4$ -es lemeznek** nevezik.

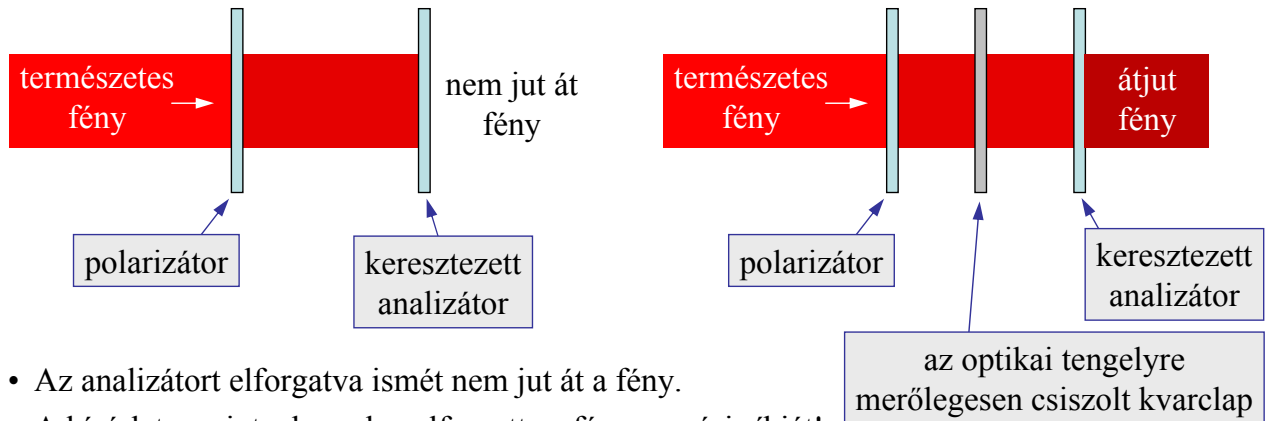
- A kettős ék alkalmazásával a lemez d vastagsága folytonosan változtatható. Ezek a berendezések az u.n. **kompensátorok**. Ezek segítségével a δ fáziskülönbség tetszőleges értékre beállítható.

A kompensátor vastagságának megfelelő beállításával a lineárisan és elliptikusan poláros fény egymásba kölcsönösen átalakíthatók.

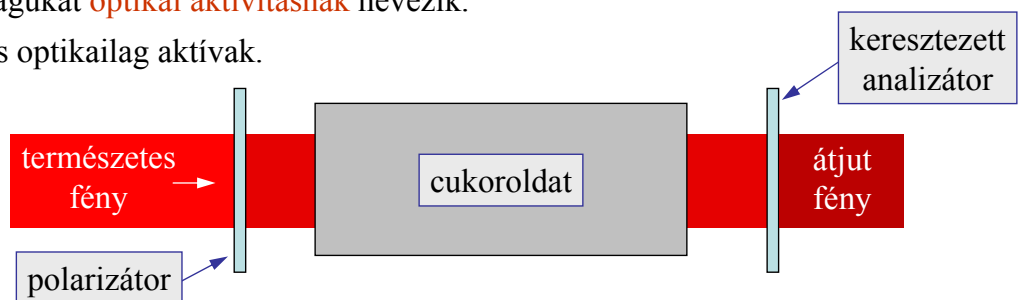


Optikai aktivitás

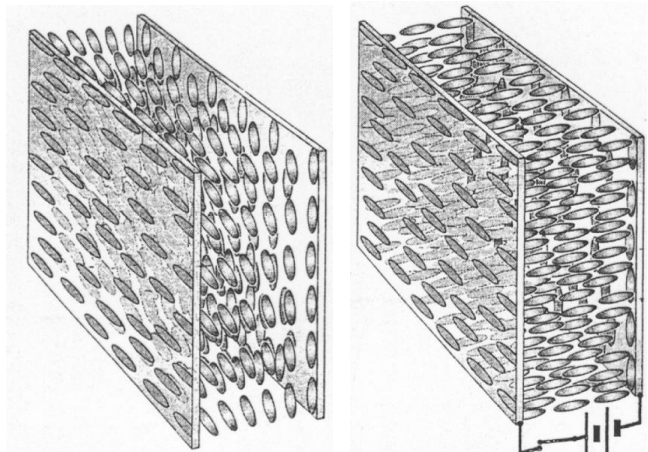
- Két keresztezett polarizátoron nem jut át fény.
- Ha közéjük az optikai tengelyre merőlegesen csiszolt kvarclapot teszünk a fény átjut!



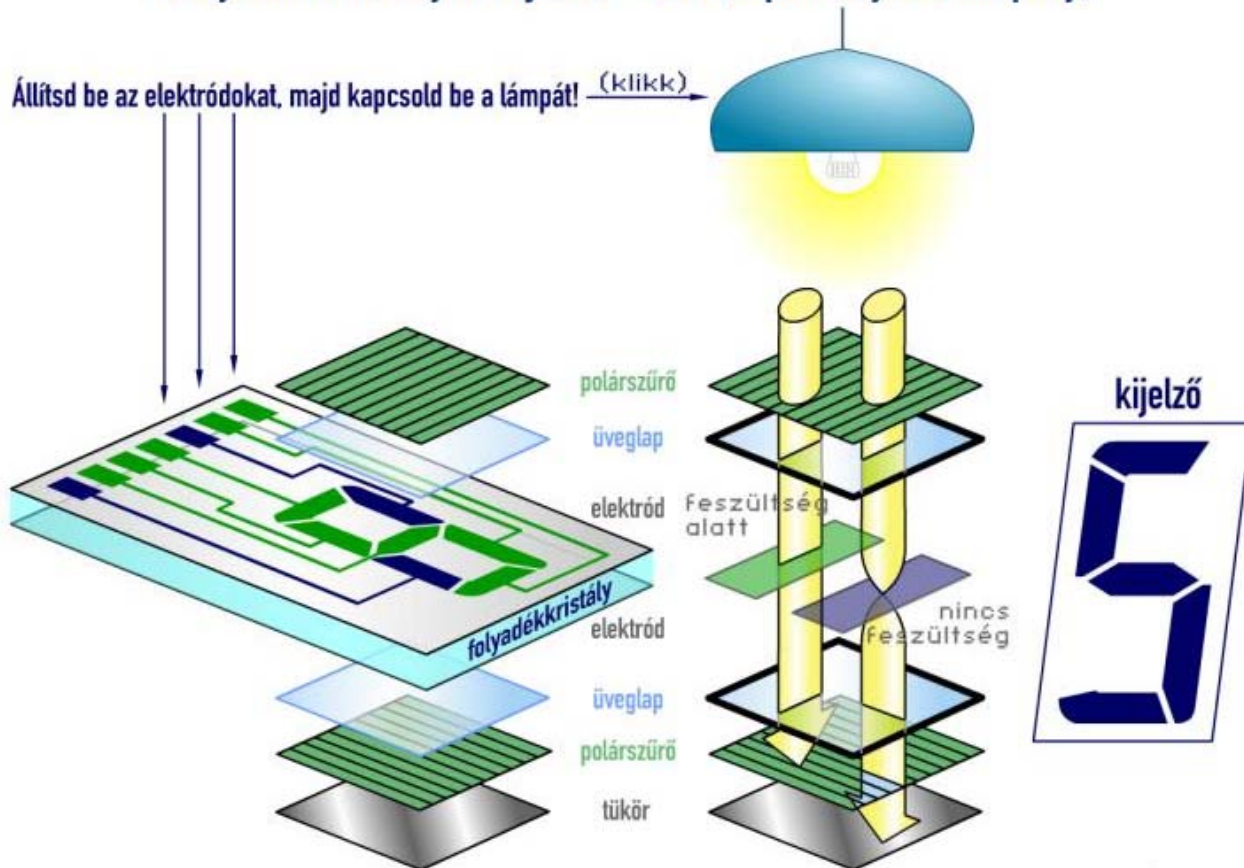
- Az analízátort elforgatva ismét nem jut át a fény.
- A kísérlet szerint a kvarclap elforgatta a fény rezgési síkját!
- Bizonyos anyagok a kvarchoz hasonlóan elforgatják a fény rezgési síkját, Ezt a tulajdonságukat **optikai aktivitásnak** nevezik.
- Cukoroldatok is optikailag aktívak.



- A folyadékkristályos kijelzők (LCD) működése is az optikai aktivitáson alapul.
- A folyadékkristályokat az jellemzi, hogy bár folyadék halmazállapotúak, a bennük levő pálcika alakú molekulák úgy helyezkednek el, hogy hossz tengelyük egy irányba mutat (ezért „kristályok”).
- Amennyiben a tartó üveglap felületén mikroszkopikus karcolások vannak, akkor a felület közelében a molekulák ezekkel a karcolásokkal párhuzamosan állnak be.
- Ha a folyadékkristályt egy olyan cellában helyezük el, melynek alap-, és fedőlapján a karcolatok egymáshoz képest 90° -al el vannak forgatva, akkor a molekulák orientációja is ennek megfelelően elcsavarodik.
- Az így kialakított folyadékkristály réteg a fény rezgési síkját 90° -al elforgatja.
- Ezért, ha egy ilyen cellát két keresztezett polarizátor közé helyezünk, akkor az egész rendszer átlátszó lesz.
- A molekulák beállítását kellően erős elektromos térrel megváltoztathatjuk. Ekkor a réteg optikai aktivitása megszűnik.
- Ezért, elektromos tér hatására az egész rendszer átlátszatlan lesz.



Folyadékkristályos kijelző - LCD (liquid crystal display)



forrás: www.sulinet.hu/tart/fncikk/Kide/0/26993/index.htm

A holográfia alapjai

Irodalom [3]: 285 §

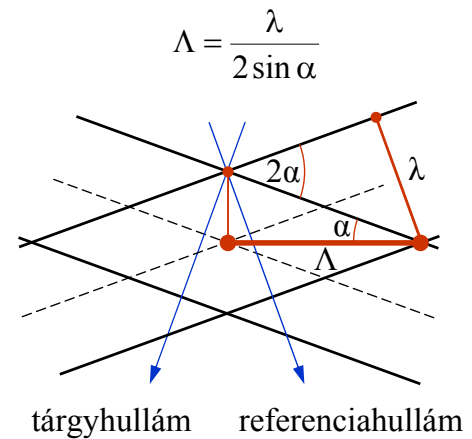
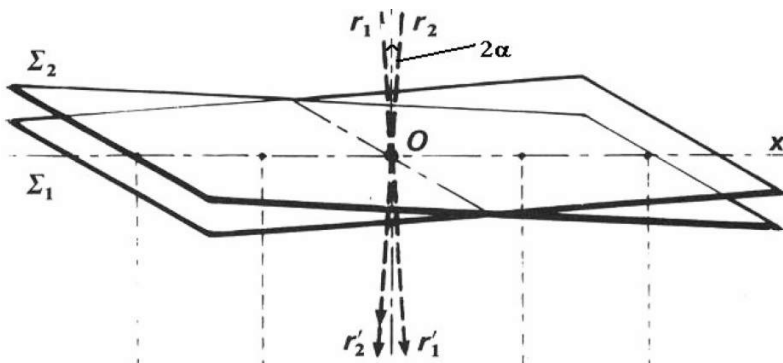
Mi is történik a hagyományos fényképezés során?

- A képalkotás feltétele, hogy a tárgy adott pontjából kiinduló összes sugár a kép egy adott pontjában metszze egymást.
- Ennek megfelelően, ha a tárgypontból több, vagy kevesebb sugár indul ki, akkor a megfelelő képpontba is több, vagy kevesebb sugár érkezik be.
- Ez tehát azt jelenti, hogy a tárgy és képpontok fényességét (pontosabban fogalmazva az ottani fényintenzitást) megfeleltetjük egymásnak.
- A tárgy pontjaiból kiinduló fénycsücsök intenzitását rögzítjük, ugyanekkor a tárgyról kiinduló csücsök fázisában rejlő információ elvész.
- A tárgy látásának valódi érzetének kiváltásához a tárgy pontjaiból kiinduló fénycsücsök teljesen rekonstrukciója szükséges. Ehhez viszont nem csak a csücsök intenzitását, hanem a fázisát is ismerni kell!

Hogyan lehetne a fázisban terjedő információt rögzíteni?

- Gábor Dénes elgondolásából kifejlődő holográfia – az interferencia segítségével – a csücsök fázisára vonatkozó információt is rögzíti. A hologrammal a tárgyról kiinduló teljes fénycsücsök rekonstruálható!
- Ha a vizsgált csücsököt egy **ismert** fázis szerkezetű ún. **referencia csücsökkel** – a gyakorlatban sík- vagy gömbcsücsök – interferáltatjuk, akkor egy olyan jellegzetes interferencia kép jön létre, amely jellemző a vizsgált csücsökre (**tárgycsücsökre**).

- Legyen a referencia és a tárgyhullám egyaránt λ hullámhosszúságú síkhullám, azaz egy síkhullám hologramját vizsgáljuk.
- Jelölje a két hullám terjedési iránya által bezárt szöget 2α .
- Az interferencia eredményeként az ernyőn egy periodikus csíkrendszer jön létre:



- Az ernyő helyére filmet helyezve, Λ rácsállandójú optikai rácsot kapunk a filmbe exponálva!
- Mi történik ha a referencia hullámmal megvilágítjuk ezt a rácsot?

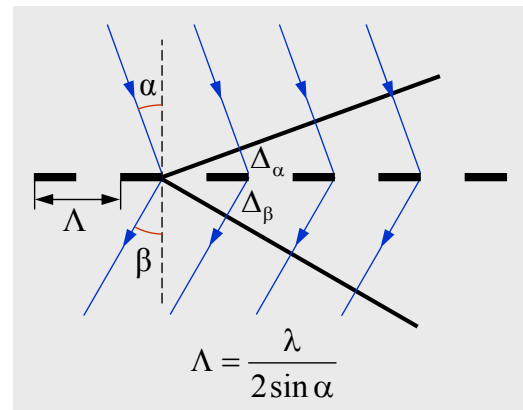
Milyen β irányba terjed a rácson elhajló hullám?

- Nyilván olyan irányba, amelyre a karcolatokból kiinduló elemi hullámok erősítik egymást!
- Két szomszédos karcolatból kiinduló elemi hullámok közötti útkülönbség:

$$\Delta = \Delta_\alpha + \Delta_\beta = \Lambda \sin \alpha + \Lambda \sin \beta$$

- Két szomszédos karcolatból kiinduló elemi hullám kölcsönösen erősítik egymást, ha $\Delta = \lambda$, azaz:

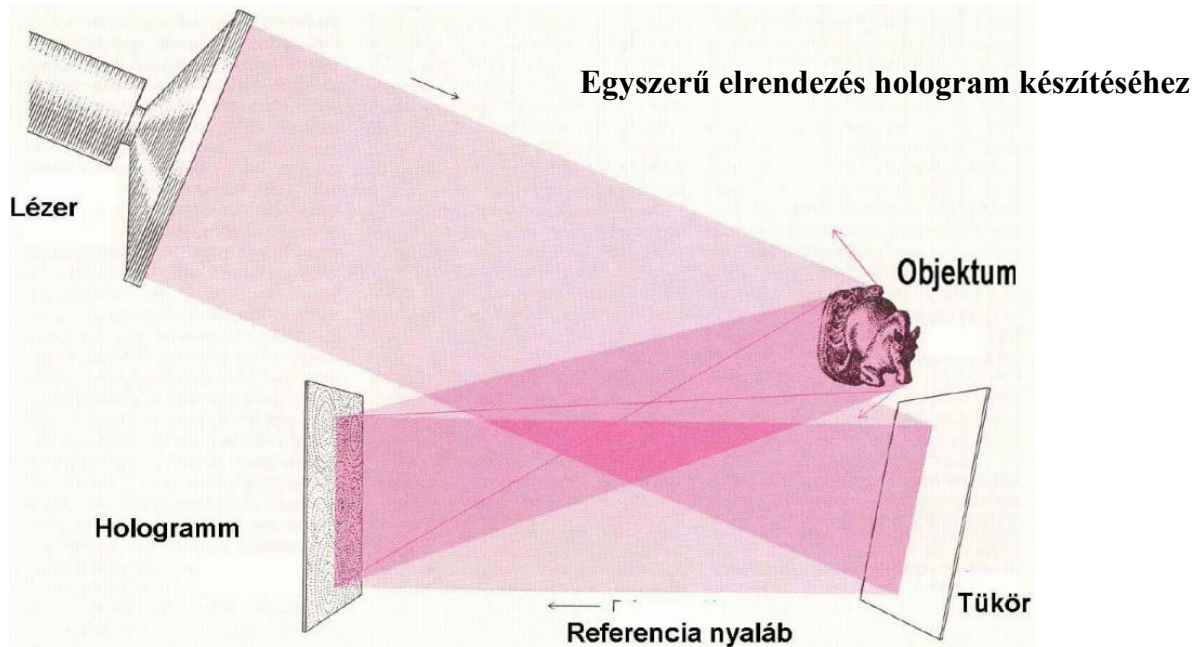
$$\frac{\lambda}{2 \sin \alpha} (\sin \alpha + \sin \beta) = \lambda \quad \rightarrow \quad \sin \beta = \sin \alpha \quad \rightarrow \quad \boxed{\beta = \alpha}$$



- Azaz a rácsot egy α irányba terjedő síkhullám hagyja el!
- Ami pontosan annak felel meg, mintha tárgnyaláb tovább terjedne a film mögött!
- **Ami azt jelenti, hogy a filmen rögzített *hologrammal* sikerült rekonstruálni a tárgyhullámot!**
- Így beláttuk, hogy erre egyszerű esetre a holográfia alapötlete működik!
- Ezzel az egyszerű gondolatmenettel belátható a holográfia három alapvető tulajdonsága

A holográfia három alapvető tulajdonsága

- A hologram rekonstrukciója során egy olyan hullám keletkezik, amely pontosan megegyezik a tárgyhullámmal, ezért a rekonstruált hologram optikailag a tárggyal egyenértékű.
- A hologram az információt interferencia mintázat formájában tárolja.
- A hologram bármely kis része ugyanazt a (teljes) információt tárolja. Ezért ha egy hologramnak csak egy kis darabját rekonstruáljuk ugyanazt a képet kapjuk, mint a teljes hologramról csak halványabban.



A tárgyhullám rekonstrukciója a hologrammal

